

VYSOKÁ ŠKOLA STROJNÍ A TEXTILNÍ
nositelka Řádu práce

Fakulta strojní

Katedra obrábění a montáže

obor 23 - 07 - 8 - strojírenská technologie
zaměření obrábění a montáž

BROŠENÍ TEŽKOBRONITELNÝCH MATERIÁLU
S VYSOKÝM OBSAHEM NIKLU

KOM - OM - 333
Lubomír Voda

Vedoucí : Ing. Jaroslav Janousek
VŠST Liberec

Konz : Doc. Ing. Jaromír Gazzda, CSc
VŠST Liberec

Ing. Petr Kubista
VUUSO Praha

E

: 61
: 6
čí : 19

Datum : 24. května 1985

VYSOKÁ ŠKOLA STROJNÍ A TEXTILNÍ

nositelka Řádu práce

Fakulta strojní

Katedra obrábění a montáže

obor 23 - 07 - 8 - strojírenská technologie

zaměření o b r á b ě n í a m o n t á ž

BROUŠENÍ TĚŽKOOBROBITELNÝCH MATERIÁLU
S VYSOKÝM OBSAHEM NIKLU

KOM - OM - 333

Lubomír V o d a

Vedoucí práce : Ing. Jaroslav J a n o u š e k
VŠST Liberec

Konzultant : Doc. Ing. Jaromír G a z d a, CSc
VŠST Liberec

Ing. Petr K u b i š t a
VUOSO Praha

Rozsah práce

Počet stran : 61

Počet příloh : 6

Počet obrázků : 19

Datum : 24. května 1985

Vysoká škola: strojní a textilní Fakulta: strojní
Katedra: obrábění a montáže Školní rok: 1984/85

ZADÁNÍ DIPLOMOVÉ PRÁCE

(PROJEKTU, UMĚLECKÉHO DÍLA, UMĚLECKÉHO VÝKONU) 6. 333

pro Lubomír V o d a
obor 23-07-8 strojírenská technologie

Vedoucí katedry Vám ve smyslu nařízení vlády ČSSR č. 90/1980 Sb., o státních závěrečných zkouškách a státních rigorózních zkouškách, určuje tuto diplomovou práci:

Název tématu: Broušení těžkoobrobiteľných materiálů s vysokým obsahem niklu

Zásady pro vypracování:

1. Výběr kriteria pro stanovení obrobitevnosti broušením těžkoobrobiteľných materiálů
2. Rozbor stávajícího stavu v používání brousicích kotoučů v np. Motorlet Jinonice
3. Zkousky československých brousicích kotoučů pro brousící operace jako náhrada za kotouče cizí provedení
4. Vliv řezné kapaliny na řezivost brousicího kotouče
5. Zbytkové pnutí u vybraných podmínek broušení
6. Výsledky zkoušek a případné doporučení změny řezních podmínek pro np. Motorlet Jinonice

VYSOKÁ ŠKOLA STROJNÍ A TEXTILNÍ
Ústřední knihovna
LIBEREC 1, STUDENTSKÁ 5
PSČ 461 17

Rozsah grafických prací: dle potřeby

Rozsah průvodní zprávy: 50 stran

Seznam odborné literatury:

1. Kožurol, M.: aj.: Otdeločno abrazivnyje metody obrabotki. Minsk. 1983.
2. Podkladové materiály z np. Motorlet Jinonice.
3. König, W. aj.: Prüfung von Kühl-schmierstoffen für die Schleifbearbeitung. IND. Anzeiger, č. 72, str. 26-28
4. Lobanov, A.V.: Vlijaniye glubiny šlifovania na kachestvo poverchnostnogo sloja trudnoobratyvajemykh materialov. Věstnik mašinostrojenia, 1983, č. 6, str. 61-62

Vědoucí diplomové práce: Ing. Jaroslav Janoušek
konzultant:

Doc. Ing. Jaromír Gazda, CSc. - VŠST
Ing. P. Kubista - VUOSO Praha

Datum zadání diplomové práce: 15. 10. 1984

Termín odevzdání diplomové práce: 24. 5. 1985

L.S.

Doc. Ing. Jaromír Gazda, CSc.
Vedoucí katedry

Doc. RNDr. Bohuslav Stříž, CSc.
Děkan

Místopřísežně prohlašuji, že jsem diplomovou práci
vypracoval samostatně s použitím uvedené literatury.

V Liberci, dne 24. května 1985

Nadýchová

OBSAH

	strana
Seznam použitých symbolů	2
1. Úvod	6
2. Obrobiteľnosť broušením	8
2.1. Kriteria používaná pri hodnocení obrobiteľnosti	10
2.1.1. Kriterion obrobiteľnosti α_B	16
2.1.2. Kriterion ekvivalentnej tloušťky trísky	19
3. Chlazení těžkoobrobiteľných materiálov	25
4. Zbytková pnutí po procese broušení	28
4.1. Metody zjišťovania zbytkových pnutí	32
5. Popis experimentálneho zařízenia	33
6. Brusné kotouče	39
6.1. Použité kotouče pri experimentálnom mēření	41
7. Těžkoobrobiteľné materiály	45
7.1. Slitiny s vysokým obsahom niklu	46
8. Stávajúci stav v n. p. Motorlet Jinonice	48
9. Postup mēření	50
10. Vyhodnocovanie mēření	53
10.1. Vyhodnocenie kriteria ekvivalentnej tloušťky trísky	53
10.2. Vyhodnocenie kriteria α_B	55
11. Zhodnocenie dosažených výsledkov	57
12. Závěr	58
Seznam príloh	59
Seznam použité literatúry	60

SEZNAM POUŽITÝCH SYMBOLŮ

Q	/m ³ s ⁻¹ /	Výkon broušení
V_o	/m ³ /	Objem obroušeného materiálu
t	/s/	Čas
q	/m ³ s ⁻¹ W ⁻¹ /	Měrný výkon broušení
P	/W/	Výkon
m		Poměrný objemový obrys
v_k	/m ³ /	Objem úbytku broušicího kotouče
\bar{m}		Měrná výrobnost kotouče
m_N	/m ² /	Kvadratický poměrný obrys
C_N		Konstanta
K_P	/m.s ⁻¹ N ⁻¹ /	Řezivost
v_P	/m.s ⁻¹ /	Rychlosť přísuvu
F_P	/N/	Radiální složka řezné síly
K_u	/m.s ⁻¹ N ⁻¹ /	Řezivost
F_V	/N/	Tangenciální složka řezné síly
N	/s ⁻¹ /	Emise elektronů
K_Q	/m ³ s ⁻¹ N ⁻¹ /	Řezná schopnost
K_S	/m ³ s ⁻¹ N ⁻¹ /	Koeficient samoostření
h_{eq}	/m/	Ekvivalentní tloušťka odebírané vrstvy
h	/m/	Tloušťka odebírané vrstvy
q_v		Rychlostní poměr
K_{ObA}		Index obrobiteľnosti
K_{ObR}		Index relativnej obrobiteľnosti
γ	/m.W ⁻¹ μm ⁻¹ /	Poměrný koeficient brusitelnosti
R_a	/μm/	Drsnosť povrchu dosažená bez vyjiskrenia
K_{OB}	.	Koeficient obrobiteľnosti
$e_{0,1}$	/J.mm ⁻³ /	Měrná energie pro $h_{eq} = 0,1\text{mm}$

C		Konstanta vyjiskřovací křivky
k		Exponent polytropy
T	/s/	Časová konstanta
α	/°/	Úhel strmosti vyjiskřovací křivky
K		Řezivost brusného kotouče
I	/N.s/	Časový účinek síly
A		Kritérium počátečního impulzu
U	/mm ⁻² /	Kritérium strmosti práce
S	/mm ² /	Plocha pod vyjiskřovací křivkou
h_{zb}	/mm/	Neodebraná zbytková vrstva
h_o	/mm/	Velikost neodebrané tloušťky materiálu před vyjiskřováním
L		Kritérium strmosti úběru
β	/°/	Úhel strmosti křivky úběru materiálu
s_h	/mm ² /	Plocha pod křivkou úběru materiálu
α_B	/mm ⁻² /	Kritérium obrobitelnosti
b	/mm/	Šířka obrobku
v_o	/m.s ⁻¹ /	Obvodová rychlosť obrobku
v_k	/m.s ⁻¹ /	Obvodová rychlosť brousícího kotouče
F'_t	/N.mm ⁻¹ /	Tangenciální složka řezné síly vztavená na 1 mm šířky záběru
F_1	/N/	Porovnávací síla pro $h_{eq} = 1 \text{ um}$
F'_u	/N.mm ⁻¹ /	Normálová složka řezné síly vztavená na 1 mm činné šířky brusného kotouče
μ		Koeficient broušení
f		Exponent vyjadřující vztah mezi řeznou silou a ekvivalentní tloušťkou třísky
R_p	/μm/	Drsnost povrchu pro $h_{eq} = 1$
r		Exponent vyjadřující vztah mezi drsností

		povrchu dosažené bez vyjiskření a ekvivalentní tloušťkou třísky
R_{1w}	/ μm /	Konstanta drsnosti pro $h_{eq} = 1$
r_d		Exponent vyjadřující vztah mezi drsností povrchu dosaženou s vyjiskřením a ekvivalentní tloušťkou třísky
G		Poměrný obrus /brusná účinnost/
G_1		Porovnávací poměrný obrus pro $h_{eq} = 1$
g		Exponent vyjadřující vztah mezi poměrným obrusem a ekvivalentní tloušťkou třísky
V^*	/ $\text{mm}^3 \cdot \text{mm}^{-1}$ /	Jednotková objemová trvanlivost brousicího kotouče
V_f^*	/ $\text{mm}^3 \cdot \text{mm}^{-1}$ /	Jednotková porovnávající objemová trvanlivost pro $h_{eq} = 1$
v		Exponent vyjadřující vztah mezi jednotkovou objemovou trvanlivostí brousicího kotouče a ekvivalentní tloušťkou třísky
R	/MPa/	Velikost zbytkových pnutí
E	/N \cdot m $^{-2}$ /	Modul pružnosti odpovídající teplotě ohřátí
θ_2	/°C/	Teplota ohrevu
θ_1	/°C/	Původní teplota
α	/°C $^{-1}$ /	Koeficient lineární teplotní roztažnosti
F_n	/N/	Radiální složka řezné síly
F_T	/N/	Tangenciální složka řezné síly
s	/mm/	Šířka kotouče
d_K	/mm/	Průměr kotouče
m_g	/g/	Hmotnost kotouče
Q	/g \cdot cm 3 /	Hustota kotouče
E_Z	/kN \cdot mm $^{-2}$ /	Modul pružnosti kotouče

P_{max}	/W/	Maximální výkon zatíženého stroje
Re	/MPa/	Mez kluzu
Rm	/MPa/	Mez pevnosti
$Re_{0,2}$	/MPa/	Smluvní mez kluzu
Ra	/ μm /	Drsnost povrchu dosažená bez vyjiskření
Ra_V	/ μm /	Drsnost povrchu dosažená s vyjiskřením
Z		Kontrakce
v_{Po}	/ $\mu m \cdot ot^{-1}$ /	Rychlosť prísuvu na otáčku
Q_f	/l.min $^{-1}$ /	Průtok chladící kapaliny
p_f	/MPa/	Tlak chladící kapaliny
$G_{0,1}$		Poměrný otrus pro $h_{eq} = 0,1$
v_{KP}	/m.s $^{-1}$ /	Rychlosť vý toku kapaliny
d_{eq}	/mm/	Ekvivalentný průměr

1. VOD

Základním oavětvím československé ekonomiky bude i na-dále strojírenství. Mezi všemi, v současnosti používanými způsoby obrábění, má své pevné místo také obrábění brouse-ním. Lze přeupokladať, že význam tohoto způsobu obrábění u-a-le poroste. Brousení má tu schopnost, že tímto obráběním lze obrábet prakticky všechny druhy materiálu, jejichž tvr-dost je menší než tvrdost zrn brusného kotouče. Této výhody se začíná využívat v posledních letech, poněvadž potřeby národního hospodářství si ve stále větší míře vyžadují kon-strukční materiály se špičkovými užitnými vlastnostmi /mate-riály s vysokými pevnostními parametry/, špičkovými fyzi-kálními, chemickými a jinými vlastnostmi. Z kovových mate-riálů to jsou konstrukční oceli zušlechtěné na pevnost až 2500 MPa, vysokolegované chromové oceli, austenitické oceli manganové, manganníklové a manganchromové, austenitické oceli chromníklové, korozivzdorné, záropevné, niklové a ko-baitové slitiny, uale některé materiály vyráběny metodou práškové metalurgie.

Použití těchto materiálů si vyžaduje požadavky klade-né na nová zařízení, která pracují často za extrémních podmí-nek. Bežně používané materiály by byly za těchto podmínek prakticky nepoužitelné.

V závazném dokumentu "Hlavní směry hospodářského a so-ciaльního rozvoje ČSSR na roky 1981 - 1985" je v úkolech pro vedeckotechnický rozvoj zvláště zvýražnena orientace na "nové výrobky a technologie" umožňující vyšší zhodnocování a výraznější uspořy paliv, energie, kovů a komplexní zpra-cování domácích i dovážených surovin a materiálů.

V souladu s těmito požadavky dochází ke zkvalitňování konstrukčních materiálů, což umožňuje za stejných podmínek nahradit původní materiál novým. Těžce obrobiteľné materiály mohou zvýšit bezpečnost výrobků nebo snížit nosný průměr, popřípadě zlepšit jiné mechanické vlastnosti. Technologické zpracování těchto materiálů však přináší řadu obtíží, zvláště při obrábění.

Úkolem této diplomové práce je zvolit vhodnou metodu obrobitevnosti těžkoobrobitevných materiálů. S její pomocí porovnat vhodnost použití kotoučů vyráběných v ČSSR, případně jejich náhrada za kotouče dovážené ze zahraničí.

2. OBROBITELNOST PŘI BRUŠENÍ TĚŽKOUNOBROBITELNÝCH MATERIÁLŮ

Současné přistupy k posuzování obrobitevnosti materiálu jsou různé. Obecně však lze říci, že to je určitý kvalitativní stav materiálu z hlediska jeho vhodnosti pro broušení.

Například Maslov /3/ definuje obrobitelnost jako: "souhrn technologických vlastností materiálu, charakterizujících jeho způsobilost k obrábění brousícím nástrojem". Obrobitelnost zahrnuje řadu ukazatelů: produktivitu obrábění, měrnou spotřebu brousícího nástroje a jeho trvanlivost, velikost řezných sil a teplot broušení, drsnost obrobeného povrchu, kvalitu povrchové vrstvy, rozměrovou přesnost atd. Obecně lze posuzovat obrobitelnost z několika hledisek. Pro praxi mají největší význam:

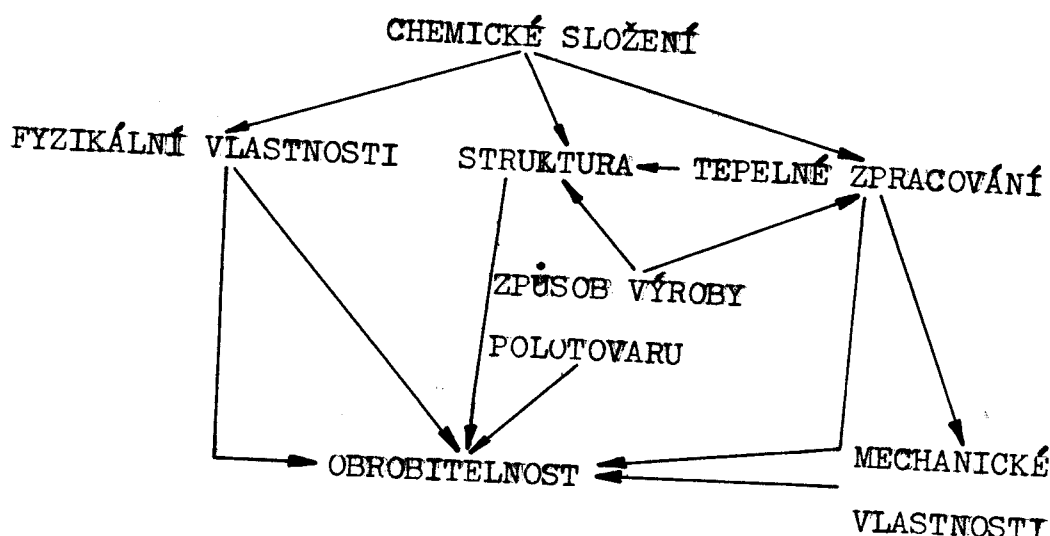
- vliv materiálu obrobku na intenzitu opotřebení nástroje a na teplotu při obrábění
- vliv materiálu obrobku na proces tvoření třísky, jednak z hlediska sil řezání, jednak z hlediska utváření oddělované třísky
- vliv materiálu obrobku na vytváření nových povrchních na obrobku a na jejich jakost.

Kromě těchto hledisek existují ještě další. Vlastnosti materiálu obrobku mají při různých hlediscích různý vliv na obrobitelnost. V mnoha případech mají i protichůdný vliv. Například materiál, který má dobrou obrobitelnost podle řezné rychlosti může mít špatnou obrobitelnost podle utváření třísky.

Obrobiteľnosť v procese obrábenia ako charakteristiku obrábeného materiálu ovplyvňuje řada činitelov. K nejdôležitějším patří:

- fyzikálne vlastnosti
- chemické složenie
- zpôsob výroby
- mikrostruktúra.

Tyto činitele mohou byť vzájemne vázany, jak ukazuje obr. 1.



Obr. 1 Vliv vlastností obrábeného materiálu na obrobiteľnosť broušením

Mezi fyzikálne vlastnosti zejména patrí pevnosť, tvrdosť, houževnatosť, tepelná vodivosť a adhezní schopnosť. Tvrdosť zvýšuje abrazívny opotřebení a pevnosť zvýšuje řeznousílu. Zvýšené teploty a řezné sily u těžkoobrobiteľných materiálov mají za následek velké zpevnění v oblasti tvoření třísky. Tento negativný jev lze odstranit nebo patrične snížit zvýšením posuvu a snížením řezné sily.

Z chemického složenia vyplývají všechny vlastnosti obrábeného materiálu. K prvkům, které snižují výrazne obrobiteľnosť, patří uhlík /prevážne u oceli legovaných karbi-

dotvornými prvky/, kremik, chrom /snížuje obrabiteľnosť umeŕne s obsahom uhlíku/, väčší obsah niklu, hliníku, wolframu a ďalší. Naopak zlepšenie obrobiteľnosti materiálu dojde priukaním síry.

Samotná obrobiteľnosť lze ovplyvniť i zpôsobem výroby. Aby bolo dosaženo optimálnych vlastností z hľadiska obrabenej, je dôležité znáť vliv materiálových vlastností na obrobiteľnosť. To umožní voľbu optimálneho materiálu, chemických, mechanických úprav a tepelného zpracovania obrabeneho materiálu.

2.1. Kritéria používaná pri hodnocení obrobiteľnosti

V praxi je obrobiteľnosť spojena užce s pojmom rezivosti, čož je vlastné súhrnné vlastnosti nástroja, ktoré vyjadrujú jeho řezné schopnosti [7]. V nasledujúcej tabuľke č. 1 je vyber niekoľkých kritérií, ktorá sa v súvislosti s témoto dvema jevy zavedla.

Kritéria založená na zkoumaní vyjiskrovací krivky

Proces broušenia môžeme rozdeliť na 3 základní časti:

- I vrezávanie
- II ustálený režim broušenia
- III vyjiskrovovanie

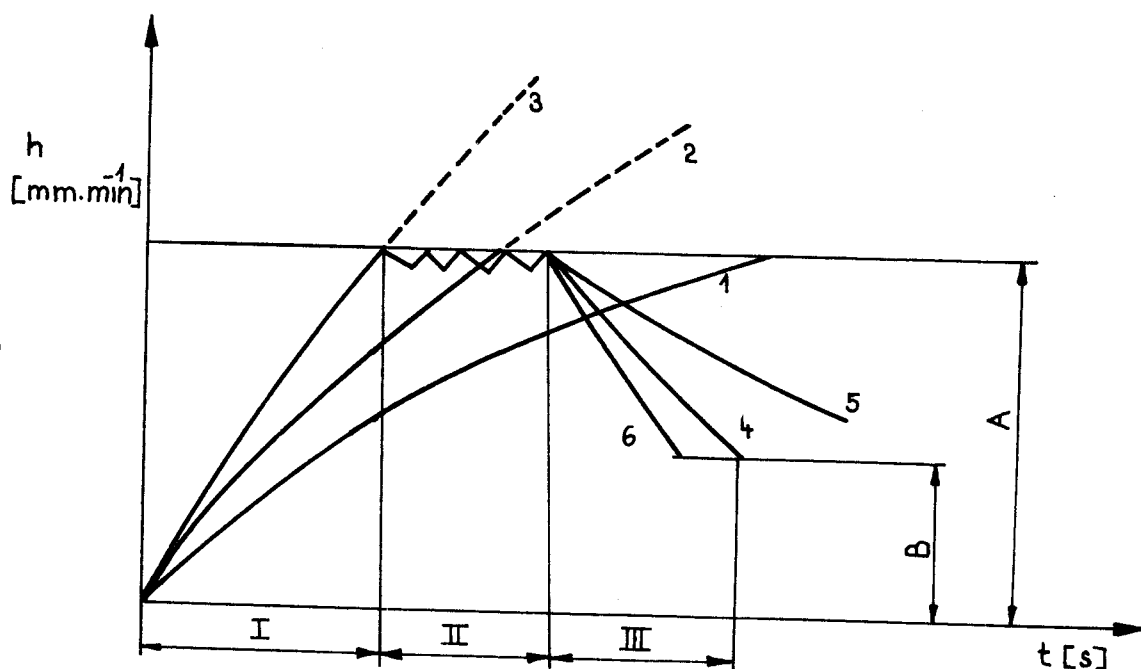
Pri vyjiskrovovaní probíha broušení s malou prísunovou rýchlosťou, čož snížuje intenzitu ūberu materiálu. Samotný proces je zpôsoben napružením sústavy S - N - O - P pri najetí brousicího kotouče do záberu s obratem v etape I. Cyklus broušenia popisuje Maslov. Tuto závislosť charakterizuje obr. 1.

Tabuľka č. 1

Rok	Autor	Vzorec	Rozmér	Pojmenování
		$Q = V_o/t$	$m^3 s^{-1}$	Výkon broušení
		$q = Q/P$	$m^3 s^{-1} W^{-1}$	Merný výkon br.
	Schlesinger	$m = V_o/V_k$ $\bar{m} = V_k/V_o$		Pomerný objemový obrus Merna výrob-nost kotouče
	Norton	$m_N = C_N V_o^2 / V_k$	m^2	Kvadratický po-merný obrus
1953	Majkus	$k_p = v_p/F_p$	$m \cdot s^{-1} N^{-1}$	Rezivost
1957	Köliner	$k_v = v_p/F_v$	$m \cdot s^{-1} N^{-1}$	Rezivost
1962	Kramer Engelland	N	s^{-1}	Emise elektronů
1969	Lurje	$k_Q = Q/F_p$	$m^3 s^{-1} N^{-1}$	Rezna schopnost
1971	Říčka	$C_k = F_p \cdot t^k$		Rovnice vyjís-křovací křivky
1974	Maslov	$k_Q = Q/F_p$ $k_s = Q_k/F_p$	$m^3 s^{-1} N^{-1}$ $m^3 s^{-1} N^{-1}$	Koeficient rezivosti koeficient samoostření
1974	CIRP: Sueys Peters Decnevt	$n_{eq} = n \cdot V_o/V_k$	m	Ekvivalentní tloušťka odebírané vrstvy

Pokracování tabulky č. 1

1975	Kicka	$k_{ObA} = m/m_E$ $\gamma_{ObA} = Q/Q_E$ $k_{ObR} = m/m_E$ $\gamma_{ObR} = Q/Q_E$		Index absolutní obrobitevnosti z poměrného obrusu Index absolutní obrobitevnosti z výkonu broušení Index relativní obrobitevnosti z poměrného obrusu Index relativní obrobitevnosti z výkonu brou- šení
	Mc Kee Moore Boston	$\gamma = m/P_{11} R_a$	$m \cdot W^{-1} \mu m^{-1}$	Poměrný koefi- cient brusit- elnosti
1977	Armarego Brown	$m = V_o/V_k$ $q = m/P$ $\gamma = m/P_{11} R_a$	W^{-1} $m \cdot W^{-1} \mu m^{-1}$	Měrná výrobnost Charakteristika brusitelnosti Poměrný koefi- cient brusitelnosti
1978	Kubišta	$k_{Ob} = m/e_{0,1} \eta_e$		Koeficient obrobitevnosti



Obr. 1: Pracovní cyklus broušení

- 1¹ zapichování konstantním přísunem
- 2,3 zapichování zrychleným přísunem
- 4 vyjiskření
- 5 zpomalené vyjiskřování
- 6 zrychlené vyjiskřování
- I doba vřezávání
- II doba ustáleho procesu
- III vyjiskřování
- A odtlačení soustavy S - N - O - P při konstantním přísnutí
- B odtlačení soustavy S - N - O - P na konci vyjiskřování

Maslov poukazuje na skutečnost, že intenzita odebírání materiálu závisí na tuhosti technologické soustavy. Při nedostatečné tuhosti je obrobek odtlačován od brousícího kotouče, čímž se snižuje produktivita a přesnost broušení.

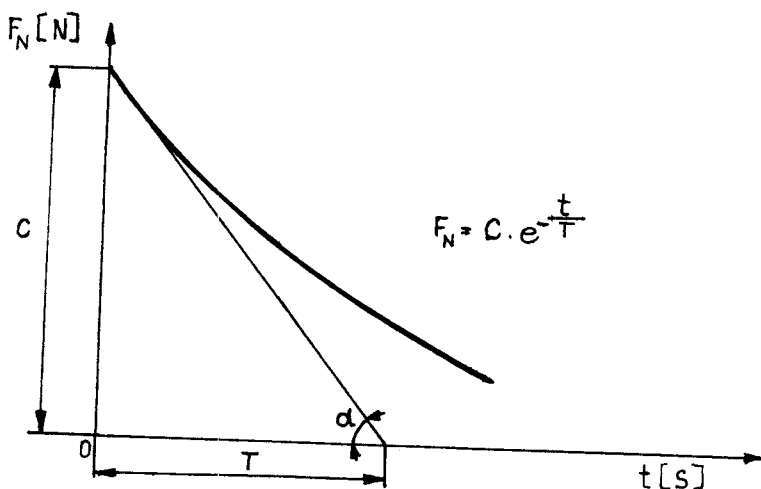
Pokud budeme uvažovat dokonalost unašeče a eliminujeme radiální házení obrobku /v idealizovaném případě/, dostaneme závislost ve tvaru

$$F_N = C \cdot e^{-kt} \quad /N/ \quad (1)$$

Po zavedení časové konstanty T

$$F_N = C \cdot e^{-\frac{t}{T}} \quad /N/ \quad (2)$$

Tvar křivky vyjiskřování má charakter podle obr. 2



Obr. 2 : Zjednodušená vyjiskřovací křivka

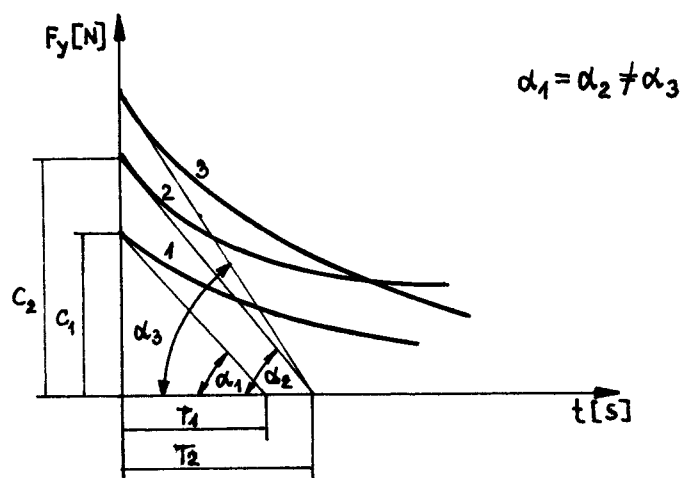
Průběh křivky je funkcí řezivosti brousícího kotouče. Vydáruje schopnost kotouče odebírat materiál z obrobku. Čím intenzivnější bude úběr materiálu, tím strmější bude křivka. Při velkém úhlu α bude strmost křivky větší a obráceně. To znamená, že při velké strmosti je kotouč řezivější a platí

závislost:

$$K = \operatorname{tg} \alpha = \frac{C}{T} \quad (3)$$

Tento vztah se nazýva kriterium strmosti. Tohoto kriteria lze použít jen při stejné počáteční síle F_N testovaných brousících kotoučů, protože nepostihuje položení křivky v souřadnicích./1/

Kriterium časové konstanty, jež vychází z predchozích úvah rozlišuje brousící kotouče pouze velikostí časové konstanty T . Tato konstanta predstavuje dobu, za kterou by doslo k vyjiskření, kdyby über materiálu probíhal stále stejnou počáteční rychlostí. Soustava S - N - O - P by se odpruzovala pouze přímky ma obr. 2. Čím je časová konstanta T menší, tím je rezivost brousicího kotouče větší a opačně. Je-li průběh řezné síly uán křivkou 1 a 2 obr. 3, potom je rezivost obou kotoučů podle kriteria strmosti stejná.



Obr. 3 : Použití kriteria časové konstanty

Pouze kriteria časové konstanty je řeživejsí kotouč, který charakterizuje křivka 1.

Kritérium počátečního impulzu odstraňuje nedostatky
predesílych dvou kritérií. Zahrnuje hodnotu počáteční síly a
casové konstanty. Vyjádření časového účinku síly, při její
proměnnosti lze napsat

$$I = \int_0^t F_N \cdot a t \quad (4)$$

Při preupokladu vyjiskření pouze přímky a obr. 2 dostaneme

$$I = \int_0^T F_N \cdot a t = \frac{1}{2} C \cdot T \quad (5)$$

Tento vztah vyjádřuje plochu OCT obr. 2. Pro porovnávací
vyhodnocování brousících kotoučů stačí kritérium počátečního
impulzu ve tvaru

$$A = C \cdot T \quad (6)$$

Z kriteria plyne záver, že největší rezivost vykazuje brou-
sící kotouč s minimalní hodnotou A. Nedostatkem je, že pro
uveď různé křivky 2, 3 můžeme získat stejné hodnoty kriteria
A, obr. 3.

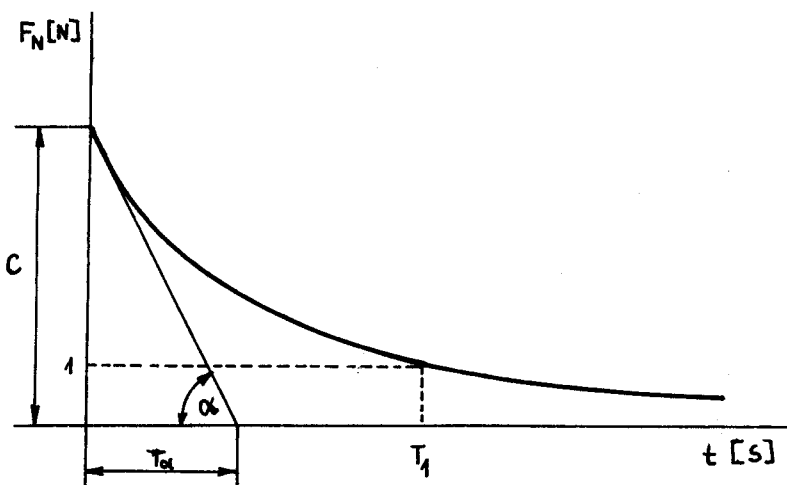
2.1.1 Kritérium obrobitevnosti O_B

Na kature obrábení a montáže fakulty strojní VŠST Li-
berec byl v rámci řešení úkolu III - II - 5/07 vypracován
návrh kriteria obrobitevnosti broušením. Vychází z tvaru vy-
jiskrovací křivky stanovené jednak pro tecnou složku rezne
sily a jednak pro ubyték broušeného vzorku. Vyjiskrovací
křivku, stanovenou jako idealizovaný průběh normativní složky

nezné síly F_N v závislosti na čase představuje obr. 4.

Plati, že:

$$F_N = C \cdot e^{-\frac{t}{T}} \quad /N/ \quad (7)$$



Obr. 4: Vyjiskrovací křivka

Tento tvar vyjiskrovací křivky charakterizuje schopnost brousícího kotouče odebírat materiál z obrobku. Čím vyšší bude intenzita uběru materiálu, tím bude křivka strmější, tedy uhel α větší. Na základě rozboru možností hodnocení jednotlivých parametrů křivky navrhl autor /2/ spekulativně kriterium strmosti práce pro hodnocení rezivosti brousících kotoučů:

$$U = 10^5 \frac{\operatorname{tg} \alpha}{2} \quad /\text{mm}^{-2}/ \quad (8)$$

Byl vysloven předpoklad, že podobnou zákonitostí se bude ředit obrušování materiálu. Vzhledem k odpružení systému SPID, neaokončí se uber městavené tloušťky vrstvy uplně.

Z toho lze usuzovat, že mezi velikostí ubytka brousicího kotouče a neobroušenou vrstvou materiálu je jina souvislost. Postupný úber sleduje křivky podobnou vyjiskřovací, s tím rozdílem, že i po mnoha zdvizech zůstává neodebraná vrstva h_{zb} . Křivku znázorňuje obr. 5 a popisuje rovnice

$$h = h_0 \cdot e^{-\frac{t}{T}} \quad / \text{mm} / \quad (9)$$

Vezmeme-li jako výchozí stanovisko grafický průběh této závislosti, pak pro optimální kombinaci brousících kotoučů a obrobku musí být strmost křivky maximální / β co největší/, plocha pod křivkou minimální a h_{zb} rovněž minimální. Potom lze vyjádřit kritérium strmosti úběru /7/

$$L = 10^3 \frac{\operatorname{tg} \beta}{S \cdot h} , \quad (10)$$

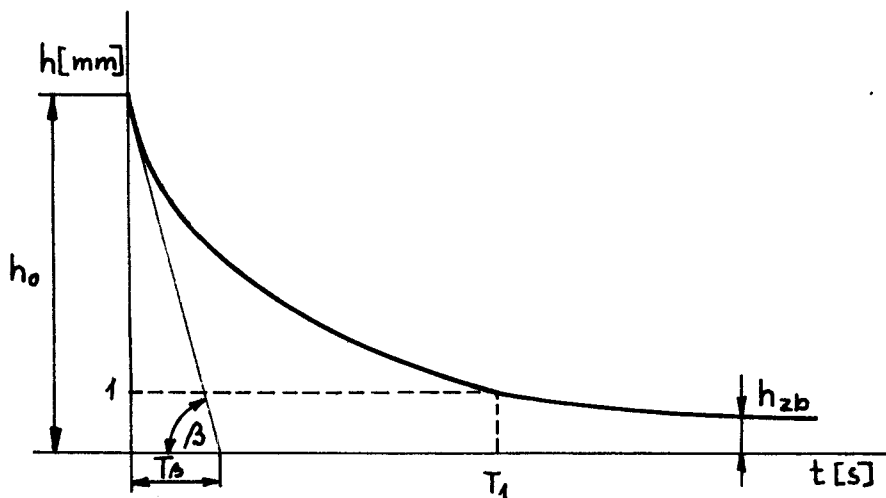
jež může být ukazatelem schopnosti materiálu podrobit se broušení, t. j. obrobiteľnosti broušením. Hodnoty U i L se však liší velikostí, což svědčí též o citlivosti těchto ukazatelů. Pro proces broušení je nutno považovat za rozhodující současný vliv řezivosti brousícího kotouče U a vliv broušeného materiálu, vyjádřený schopností podrobit se broušení L . Tato skutečnost dává možnost vytvořit spojením obou kritérií nové, které vyjadřuje vzájemnou interakci brousícího kotouče a obrobku takto:

$$O_B = U \cdot L = \frac{\operatorname{tg} \alpha}{S} \cdot \frac{\operatorname{tg} \beta}{S \cdot h} \quad (11)$$

což je obrobiteľnosť broušením.

Kriterium O_B má postihnout současně vliv druhu brousícího kotouče a obráběného materiálu. Číselné vyjádření toho-

to kriteria je pouze relativní hodnotou a současně stavovou veličinou, která však platí jen pro předem dané podmínky /stroj, řezné podmínky, velikost a tvar obrobku, řezné prostředí a pod./. /2/



Obr. 5 : Křivka postupného úběru

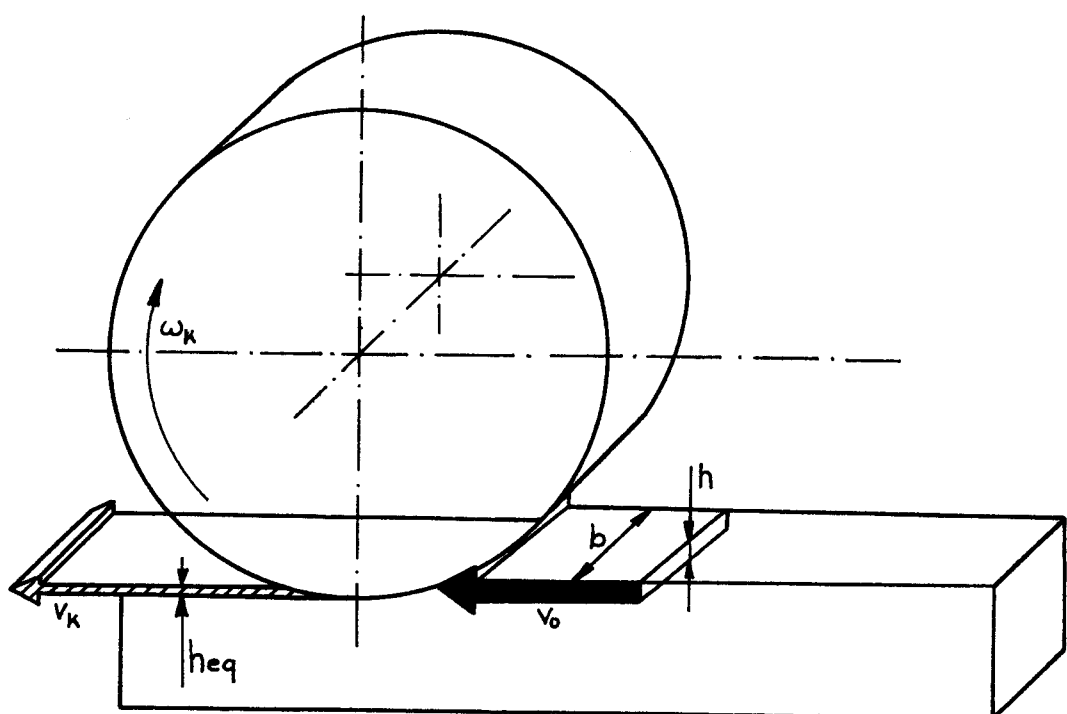
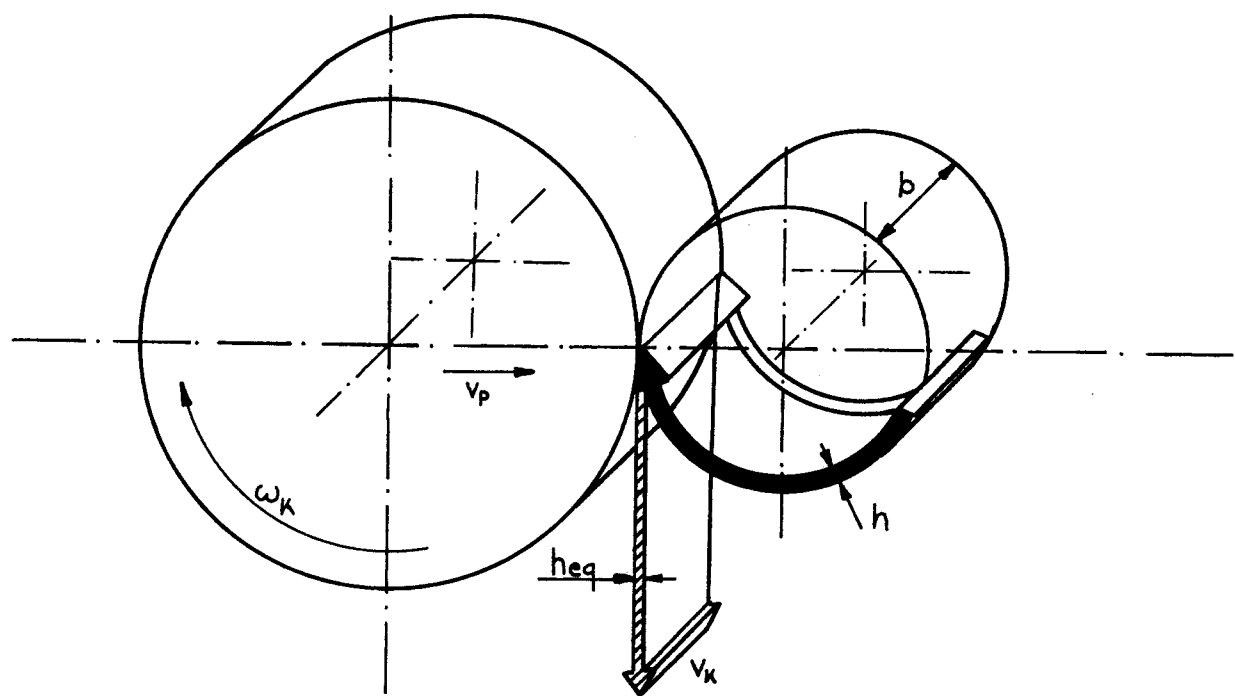
2.1.2 Kritérium ekvivalentní tloušťky odebírané vrstvy

Považujeme-li proces obroušování odebírané vrstvy "h" za plynulý, potom při zachování objemové stálosti je možné považovat poměr $h \cdot v_o / v_k$ za tloušťku vrstvy odebírané z obrobku při rychlosti v_k . Toto vyjádření vyplývá z obr. 6 a uvedený poměr má označení h_{eq} . Platí tedy, že:

$$h \cdot b \cdot v_o = h_{eq} \cdot b \cdot v_k \quad (12)$$

$$h_{eq} = h \cdot v_o / v_k \quad /mm/ \quad (13)$$

Ekvivalentní tloušťka odebírané vrstvy h_{eq} je tloušťka pásu, který se odvíjí ve směru tečném od brusného kotouče, a to rychlostí, která je rovna rychlosti kotouče.



Obr. 6 : Schemata pro výpočet h_{eq}

Hodnota $h_{eq0,1}$ je považována za hodnotu oddělující dokončovací a hrubovací broušení.

Je-li rychlostní poměr $q_v = v_k/v_o$ (14)

pak platí, že: $h_{eq} = h/q_v / \text{mm}$ (15)

Experimentálně bylo dokázáno, že většinu veličin vznikajících při broušení lze vyjádřit pomocí ekvivalentní tloušťky odebírané vrstvy

$$F_t^*, F_n^*, Ra, Ra_v, G, \Delta V = f/h_{eq} / \text{1}$$
 (16)

Tangenciální složka řezné síly vztažená na 1 mm šířky záběru

$$F_t^* = F_1 \cdot h_{eq}^f / \text{N/mm} / \text{1}$$
 (17)

Sílu F_t^* můžeme také zjistit z užitečného příkonu vřetene

$$F_{tv}^* = \frac{P_{\max} - P_{\text{na prázdro}}}{v_k} = \frac{P_S^*}{v_k} / \text{N.mm}^{-1} / \text{1}$$
 (18)

Tento způsob byl využit i při výpočtech mojí diplomové práce.

Normálová složka řezné síly, vztažená na 1 mm činné šířky brusného kotouče

$$F_n^* = \frac{F_1}{\zeta^u} \cdot h_{eq}^f / \text{N.mm}^{-1} / \text{1}$$
 (19)

kde : F_1 ... porovnávací síla pro $h_{eq} = 1 \text{ mm}$

ζ^u ... koeficient broušení

f ... exponent vyjadřující vztah mezi řeznou silou a ekvivalentní tloušťkou třísky

Součinitel tření μ je prakticky nezávislý na h_{eq} a mění se v rozsahu 0,2 - 0,5.

$$\mu = F_t / F_n \quad (20)$$

Drsnost povrchu dosažená bez vyjiskření

$$Ra = R_1 \cdot h_{eq}^r \quad / \mu\text{m} / \quad (21)$$

Drsnost povrchu dosažená s vyjiskřením

$$Ra_v = R_{1v} \cdot h_{eq}^{+rd} \quad / \mu\text{m} / \quad (22)$$

kde : R_{1v} ... konstanta drsnosti pro $h_{eq} = 1 \mu\text{m}$
 rd ... exponent

Poměrný obrus nebo také brusná účinnost

$$G = G_1 \cdot h_{eq}^g, \quad (23)$$

kde : G_1 ... porovnávací poměrný obrus pro $h_{eq} = 1 \mu\text{m}$
 g ... exponent

Objem materiálu, odstraněny brusným kotoučem mezi dvěma orovnáním, vztažený na 1 mm činné šířky brusného kotouče

$$V' = V_1 \cdot h_{eq}^v \quad / \text{mm}^3/\text{mm} / \quad (24)$$

kde : V' ... Jednotková objemová trvanlivost brousícího kotouče

V_1 ... jednotková porovnávací objemová trvanlivost pro $h_{eq} = 1 \mu\text{m}$
 v ... exponent

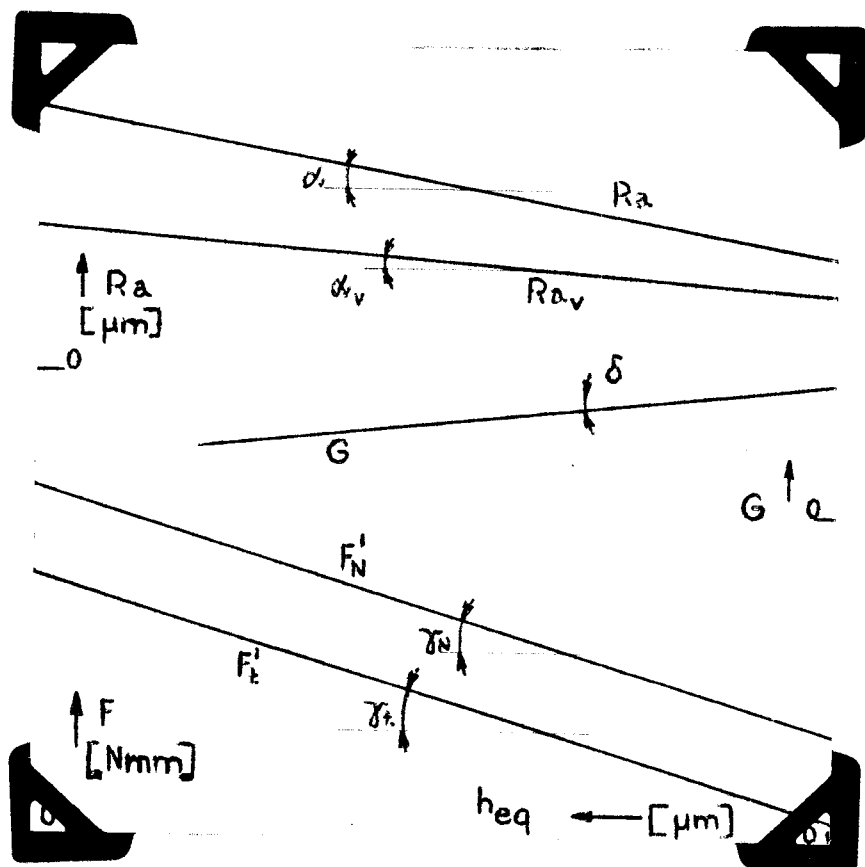
Specifická energie, potřebná pro odstranění objemové jednotky materiálu obrobku

$$e = F_1 + h_{eq}^{f-1} / J \cdot m^{-3} / \quad (25)$$

měrná energie

$$e_{0,1} = F_t^2 / h_{eq} \cdot 10^3 = F_t^2 / 0,1 = 10 F_t^2 / J \cdot m^{-3} \quad (26)$$

Všechny funkční závislosti h_{eq} mají exponenciální charakter a převedením do logaritmické stupnice dostaneme přímkové závislosti. Takto sestavené grafy se nazývají diagramy broušení. Jeho úplnou podobu ukazuje obr. 7.



Obr. 7 : Diagram broušení

Diagramy broušení umožňují porovnání výsledků zkoušek získaných při práci s různými kombinacemi brusný kotouč - obrobek - řezné kapalina. Informace získaní z diagramů

broušení mohou být použity pro ekonomickou optimalizaci brusných operací. K velkým přednostem těchto diagr mů bezpochyby patří komplexnost posouzení vzájemného působení brusný kotouč - obrobek./2/

Zhodnocení diagramů vyplývá:

- čím větší je absolutní hodnota exponentů řezných sil $/F_t - F_n/$, tím produktivněji probíhá proces broušení /materiál má lepší obrobitelnost nebo je kotouč řezivější/
- čím menší jsou konstanty, tím lepšího výsledku se dosáhne
- čím menší je hodnota $e_{0,1}$ odpovídající $h_{eq} = 0,1 \mu\text{m}$, tím úspěšněji probíhá broušení /s nižší energetickou náročností/

Podstatným nedostatkem diagramů broušení je jejich náročné sestavování. Mohou být sestrojeny jen na základě obsáhlého laboratorního měření. K dalším nedostatkům patří to, že se v diagramu nevyskytuje údaj o použitém stroji /je zastoupen pouze údajem o tuhosti stroje/.

3. CHLAZENÍ TĚŽKOOBROBITELNÝCH MATERIÁLŮ

Řezné kapaliny jsou kromě nástrojů činitelem, který nejvýrazněji ovlivňuje produktivitu a ekonomii obrábění. Zejména pak při obrábění TOM umožňuje i náročnější operace.

V důsledku zvýšených řezných sil při obrábění těžkoobrobitevných materiálů dochází k vysokým teplotám řezání. Malá tepelná vodivost způsobuje koncentraci tepla v oblasti řezání.

Význam samotného chlazení spočívá v :

a/ chladícím účinku kapaliny

b/ mazacím účinku kapaliny

c/ čisticím účinku a jako prostředku pro odstraňování třísek
Pro obrábění TOM jsou vhodné především chladící emulse a řezné oleje s tzv. vysokotlakými přísadami. Možnost použití chladících kapalin při jednotlivých způsobech broušení a pro různé druhy materiálů ukazuje následující tabulka.

Tabulka č. 2

	Broušení běžné	Broušení rychlostní
Vysokolegované oceli včetně austenitických	AKVOL /1,5-2 %/ ostatní emulze /2-4 %/	ROBOL /5 %/ AKVOL /4-6 %/ ostatní emulze /8-12 %/
Austenitické slitiny a ostatní slitiny na bázi Ni, Ni-Cr, Co		ABRASOL B
Titan a titanové slitiny		

Pro tvarové broušení včetně závitů se používá : ABRASOL B, EJEKTOL, FINOL, P2DS. /4/

Popis některých méně používaných řezných kapalin.

ABRASOL B - řezný olej s obsahem vysokotlakých přísad na bázi chloru a síry

FINOL - speciální kapalina s obsahem nízkoviskózních uhlovodíků a vysokotlakých přísad, jako náhrada za dosud používaný petrolej nebo směsi oleje a petroleje

EJEKTOL - řezný olej s obsahem vysokotlakých přísad na bázi chloru a síry a polárních přísad pro široké rozmezí teplotního obrábění

P2DS - minerální olej zušlechtěný přísadami síry, chloru a fosforu /jemné a přesné práce/

ROBOL - emulgační olej s vysokotlakými přísadami /pro výkonové a rychlostní broušení/. Snižuje proti běžným brusným kapalinám řezné síly až o 50 %. Má příznivé sekundární vlastnosti /stabilita, hodnota pH, nepodporuje korozi/

AKVOL - minerální olej a sulf. ricinový olej s dalšími mastnými látkami trietanolaminem a baktericidní přísadou pro náročné obráběcí operace.

Chlazením obráběné plochy dochází nejen k odvodu tepla, ale snižuje odpor /řezný/, zlepšuje jakost a přesnost obroběné plochy. Proto mají kapaliny na chlazení své důležité místo v procesu obrábění. Při prováděných zkouškách v rámci diplomových prací byly použity kapaliny Emulsin H a Robol. Emulsin H z důvodů jeho rozšířeného používání v provozech zaměřených na obrábění a Robol pro jeho vlastnosti uvedené předcházející tabulkou. Tato fáze zkoušek byla dů-

vodem zkoumání při řešení diplomové práce s. Davídkové.

4. ZBYTKOVÉ PNUTÍ PO PROCESU BROUŠENÍ

Při obrábění kovových materiálů vznikají pod obrobeným povrchem zbytková napětí. Materiál mění své mechanické vlastnosti a strukturu. Tato zbytková napětí se zachovávají v materiálu i po odstranění vnějšího působícího napětí. Obecně můžeme napětí v kovových polykrystalických látkách /materiálech/ rozdělit:

a/ na napětí podle příčiny, která napětí vyvolala: Působí-li na systém vnější síly, vznikají napětí, která se označuje jako vložená. Napětí vnitřní musí být v uzavřeném systému v rovnováze.

b/ na napětí posuzovaném podle doby, po kterou působí:
Okamžitá - zanikají po odstranění příčin, které je vyvolaly. Taková napětí mohou vznikat pouze do meze kluzu R_e .

Zbytková - zůstávají i po odstranění příčin, které je vyvolaly. Vznikají při překročení meze kluzu R_e .

c/ na napětí podle relativní velikosti objemu, ve kterém dosahuje rovnováhy

Zbytková napětí - 1. druhu - rovnováhy se dosahuje v makroobjemu součásti /makroskopické změny/

2. druhu - místní, k vyrovnaní dojde v oblasti jednoho nebo několika zrn /narušení rovnováhy nemusí vyvolat změny makroskopických rozměrů/

3. druhu - projevuje se v objemu několika atomových vzdáleností, několika krystalických buněk zrna /nedojde k makroskopickým změnám/, je nehomogenní i v nějmenších oblastech materiálu.

Zbytková napětí se obvykle vyskytuje současně a pod pojmem zbytkové pnutí rozumíme zpravidla pouze zbytkové napětí 1. druhu.

Vznik zbytkových napětí 1. druhu si můžeme vysvětlit dvěma způsoby:

1. Působením řezného klínu na obráběný povrch, dochází v povrchových vrstvách k plastickým deformacím, zpevnění a změně fyzikálně-mechanických vlastností v této vrstvě. Vlivem toho dojde k zvětšení hustoty a zvětšení specifického objemu. Toto zvětšení však je omezeno hloubkou plastické deformace. Dále má za následek přitlačování dotykových nedeforovaných vrstev, které se tímto začínají také pružně deformovat. Po ukončení obráběcího procesu se pružně deformované vrstvy snaží vyrovnat, čímž působí tlakem na vnější vrstvy. V těch vznikají napětí tlakové a ve spodních vrstvách tahové.
2. Při samotném procesu obrábění vzniká teplo, které mění vlastnosti obráběného kovu. Povrchová vrstva vlivem tepla zvětšuje svůj objem. Spodní vrstvy teplem neovlivněné tomu brání, čímž v povrchové vrstvě vznikají tahová napětí. V povrchové vrstvě dochází k plastickým deformacím, které odstraňují vnitřní tlakové napětí. Ochladnutím dojde ke zmenšení povrchové vrstvy /objemu/. Tomu

však brání studený kov uprostřed součástky. V důsledku tohoto silového působení vznikají v povrchové vrstvě zbytková napětí a pod touto vrstvou tlaková napětí. Působení těchto napětí je znázorněno obr. 8. Velikost zbytkových napětí pro případ 2 lze orientačně spočítat z Hookova zákona

$$R = \epsilon \cdot E$$

(27)

a po úpravě

$$R = 0,5 \cdot (\theta_2 - \theta_1) \cdot \alpha \cdot E \quad / \text{MPa} /$$

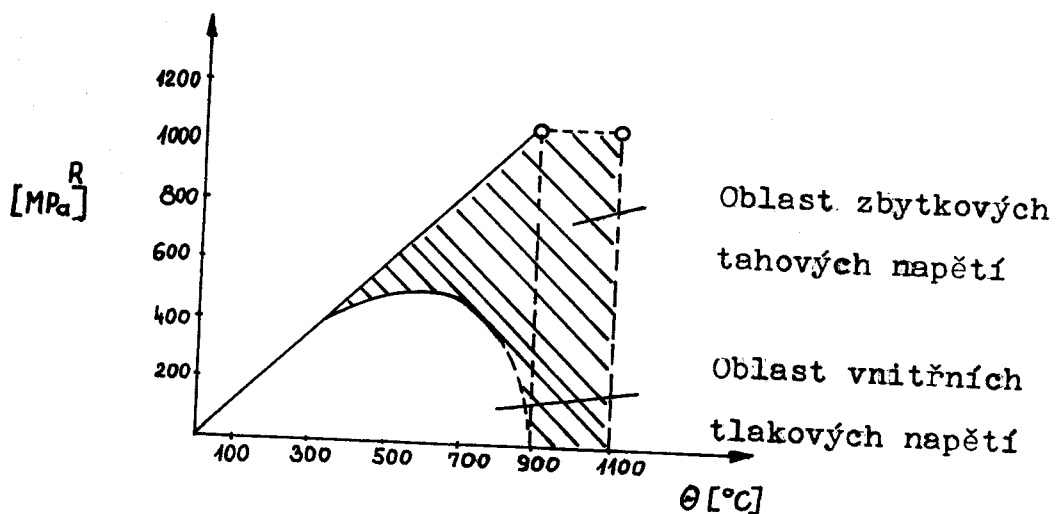
(28)

kde : θ_2 ... teplota ohřevu /°/

θ_1 ... původní teplota /°/

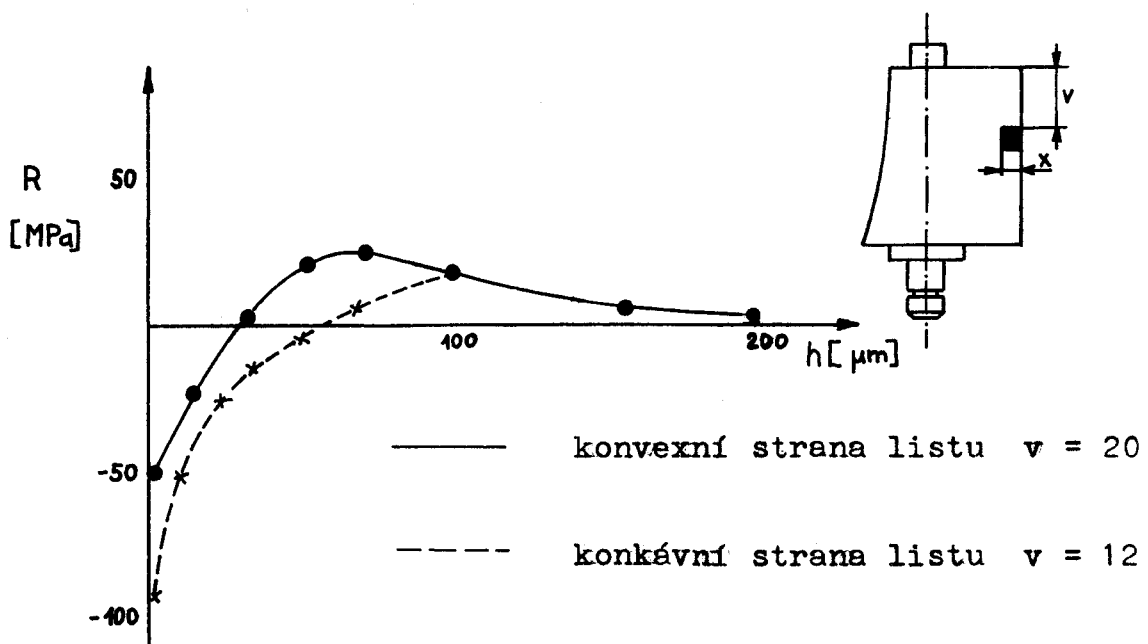
α ... koeficient lineární teplotní roztažnosti
/°C⁻¹/

E ... modul pružnosti odpovídající teploty ohřátí
/kN·mm⁻²/



Obr. 8 : Charakter změny vnitřních napětí v závislosti na teplotě ohřevu povrchové vrstvy

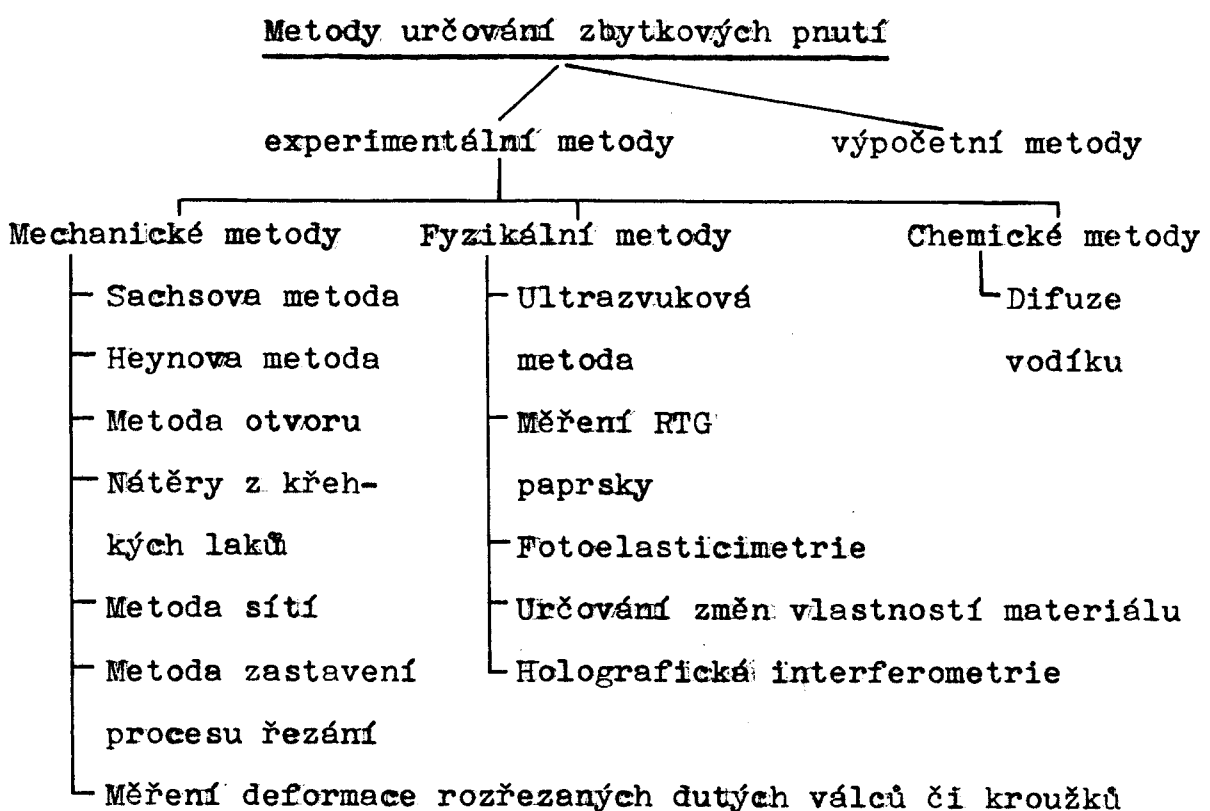
Všeobecně se přijímá názor, že zbytková prutí v tahu jsou považována za nežádoucí. V případě, že namáháme daný materiál tahem, skládá se napětí v materiuu s působící silou a snižuje se tím teoretická pevnost materiálu. Největší vliv zbytkových napětí můžeme pozorovat u materiálů, jejichž mez kluzu se blíží mezi pevnosti. U těchto materiálů nedochází k rozsáhlejším plasticickým deformacím. Experimentálně bylo dokázáno, že tahové zbytkové napětí snižuje životnost součástí, naopak tlaková životnost zvyšuje. Výsledné hodnoty získané měřením kontrolních vzorků, zaznamenáváme do grafů zbytkové prutí - hloubka. Příklad uveden na obr. 9.



Obr. 9 : Průběhy zbytkových prutí v odtokové hraně statrovných lopatek axiálního kompresoru - chromová ocel

4.11. Metody zjišťování zbytkových pnutí

Většina metod v současnosti používaných se zakládá na experimentálních měřeních, které jsou buď zdlouhavé a náročné na zařízení nebo nepřesné. Mohou být experimentální nebo teoretické. Teoretická měření se prakticky nepoužívají z důvodu nedokonalosti výpočtu a velmi pracného početního řešení. Experimentální metody můžeme rozdělit na mechanické, rentgenové a nepřímé. /6/



Z dosavadních zkušeností vyplývá, že zbytkové pnutí ve výrobku negativně ovlivňuje jeho mechanické vlastnosti /projevuje se to zvláště při cyklickém namáhání/. Proto bude nutné postupně volit nejen optimální řezné podmínky, ale i podmínky, aby zbytkové pnutí bylo minimální.

5. POPIS EXPERIMENTÁLNÍHO ZAŘÍZENÍ

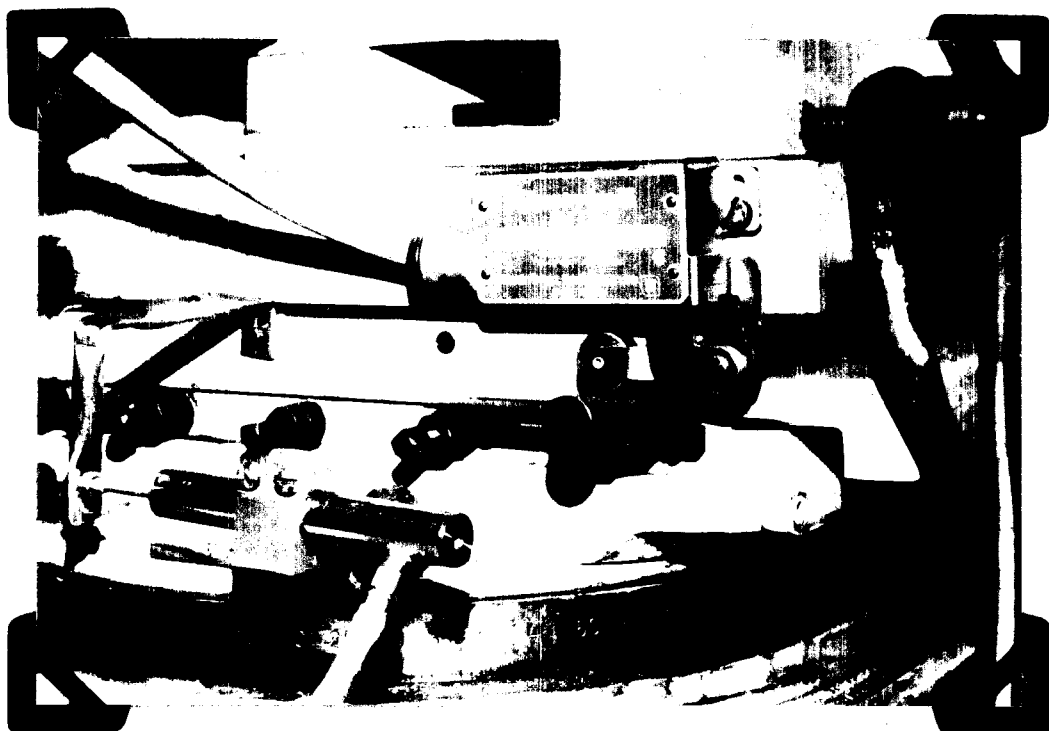
Stroj

Zkoušky obrobitevnosti byly provedeny na hrotové univerzální brusce BUA 16 TOS Hostivař.

Hlavní technologická data stroje jsou:

největší průměr předmětu :	160 mm
vzdálenost hrotů :	250 mm
největší průměr brousícího kotouče :	250 mm
otáčky brusného vřetena :	2420, 3290 min ⁻¹
otáčky pracovního vřetena :	250, 355, 500, 710 min ⁻¹
samočinný přísun brusného vřeteníku:	0,1 + 3 mm Ø.min ⁻¹

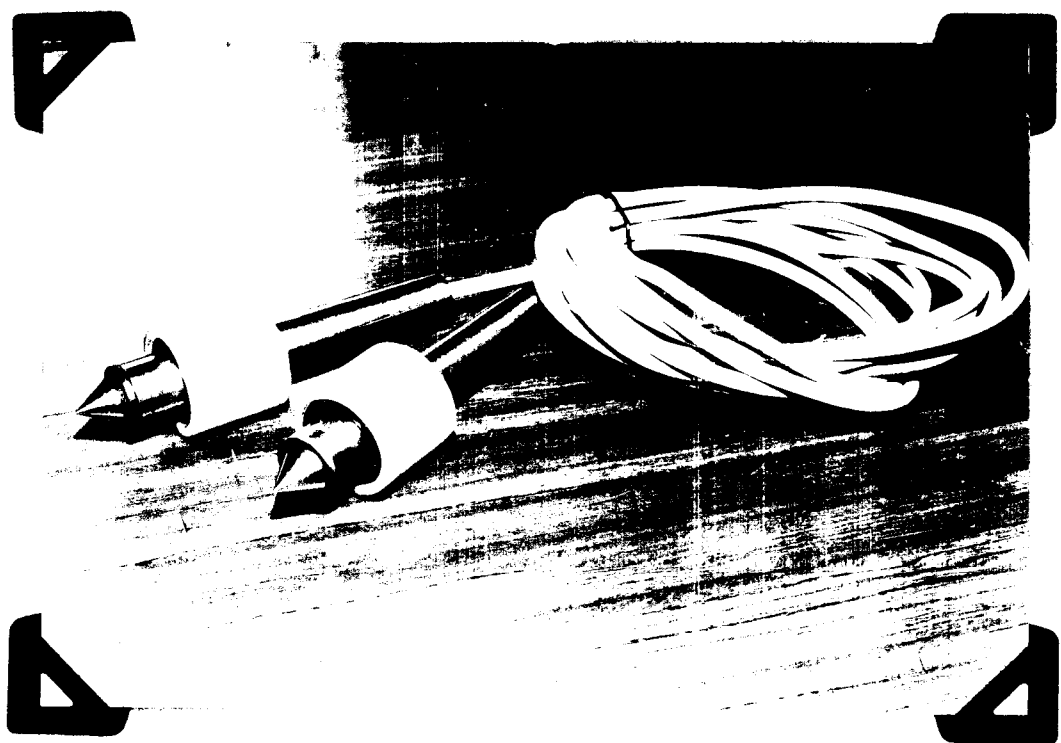
Při měření byl použit samočinný přísuv brusného vřeteníku. Velikost přísluhu byla snímána indukčním snímačem IWT 302 RFT DDR /obr. 10/. Pro dodržení dazichovacího způsobu broušení byl mastaven nulový pohyb stolu.



Obr. 10 : Indukční snímač přísluhu

Dynamometr

K měření řezných sli bylo využito rávruhu dynamometru s tenzometrickými snímači podle Holáska. Pro účely brusky EUA - 16 bylo však nutné dynamometr rozměrově přizpůsobit. Došlo též k některým konstrukčním úpravám. Zvýšila se ochrana tenzometrů pomocí silikonového pouzdra a gumového těsnění.

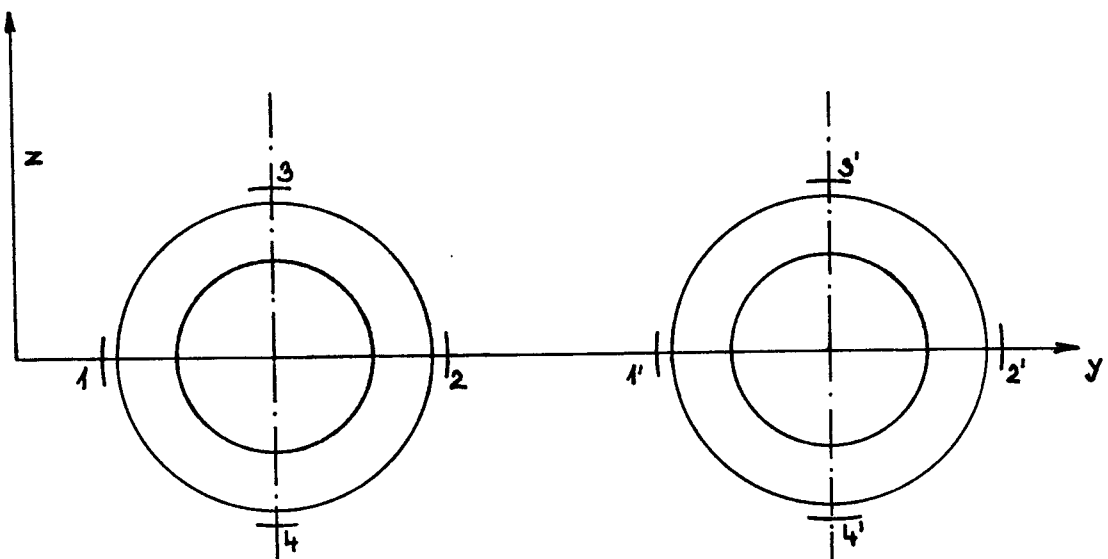


Obr. 11 : Dynamometr

Tímto způsobem je zamezeno vnikání brusného prachu k tenzometrům.

Tenzometry

Jako snímače pro měření deformace dynamometru bylo použito 8 tenzometrů SM - 120. Umístění tenzometrů ukazuje obr. 12. Radiální složka řezné síly F_n bude deformovat tělo dynamometru ve směru osy - y. Tato síla je snímána ten-



Obr. 12 : Umístění tenzometrů

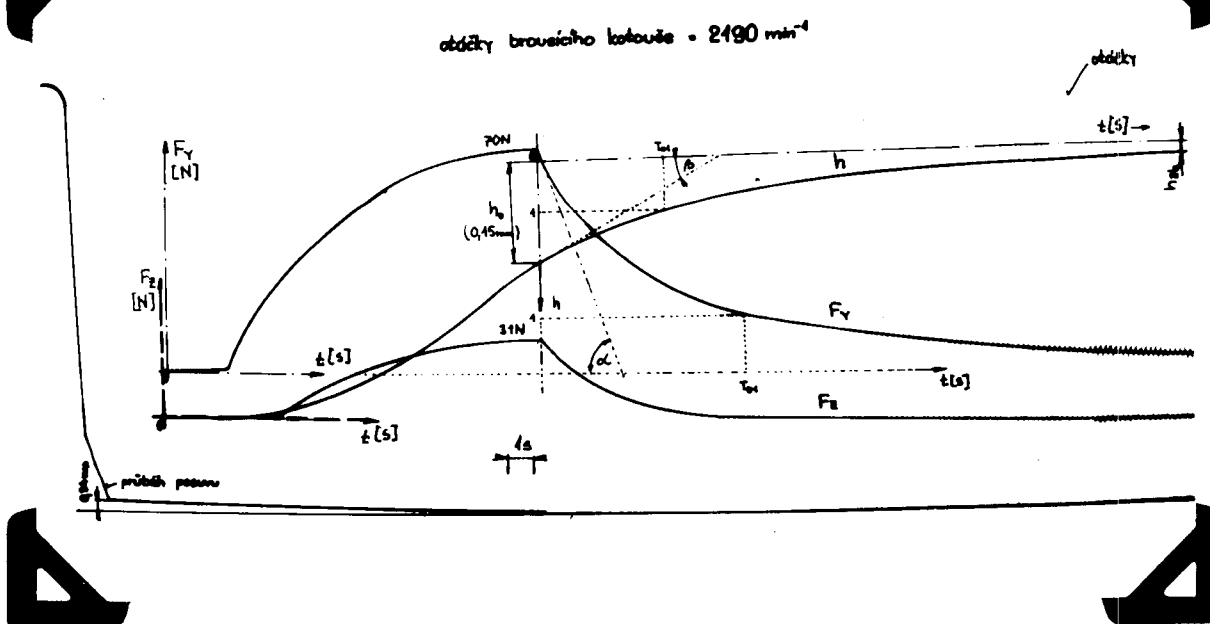
zometry 1, 2, 1', 2',.. Umístění tenzometrů v podélné ose dynamometru /x/ bylo voleno v bezprostřední blízkosti jeho větknutí.

Registrační zařízení

Registrační zařízení zaznamenávalo při měření tyto veličiny :

- radiální složku řezné síly F_n
- tangenciální složku řezné síly F_t
- úbytek materiálu h
- průběh přísluhu brousícího vřeteníku v_p

Najetím brousícího kotouče do záběru s obrobkem dochází k zatížení dynamometru. Vyvolaná deformace je snímána tenzometry. Elektrický signál tenzometrů je tenzometrickým můstekem

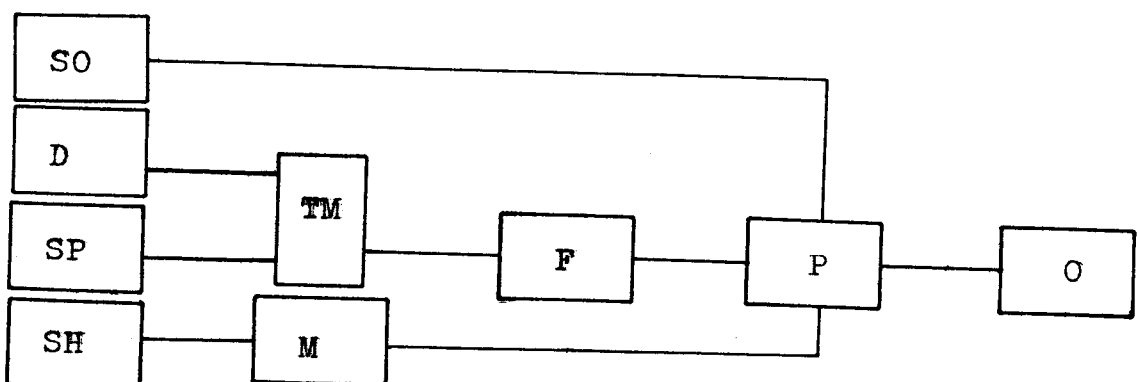


Obr. 13 : Záznam vyjiskřovací křivky

weden přes filtr F , předzesilovač P do smyčkového osciloskopu O . Blokové schéma aparatury je zachyceno na obr. 14. Elektrický signál v oscilografu řídí osvit fotografického papíru ve směru osy $n /F_n/$. Vodorovný pohyb řízeného paprsku světla je zajištován posuvem fotografického papíru. Při měření bylo použito posuvu $5 \text{ mm} \cdot \text{s}^{-1}$. Záznam je na obr. 13.

Úbytek materiálu h byl sledován dotykovým snímačem Marposs. Měřidlo má dva pevné a jeden pohyblivý dotyk. Na obr. 15 je schematicky znázorněno měřidlo. Při opracování obrobku dochází ke změně jeho průměru. Změna je sledována pohyblivým dotykem 1 /obr. 15/, který se vysouvá z vodícího pouzdra 2 tak, aby byl stále ve styku s povrchem obrobku. Pohyblivý dotyk vysílá elektrický signál k tisícinovému ručičkovému ukazateli Marposs. Na ukazateli je možno sledovat průběh úbytku materiálu až do obroušení požadovaného

Obr. 14 : Schéma přístrojového zapojení



SO ... snímač otáček MGB 102

D ... dynamometr

SP ... snímač posuvu IWF 302 RFT DDR

SH ... snímací hrot Marposs pro měření úběru materiálu

TM ... tenzometrický můstek UM - 131

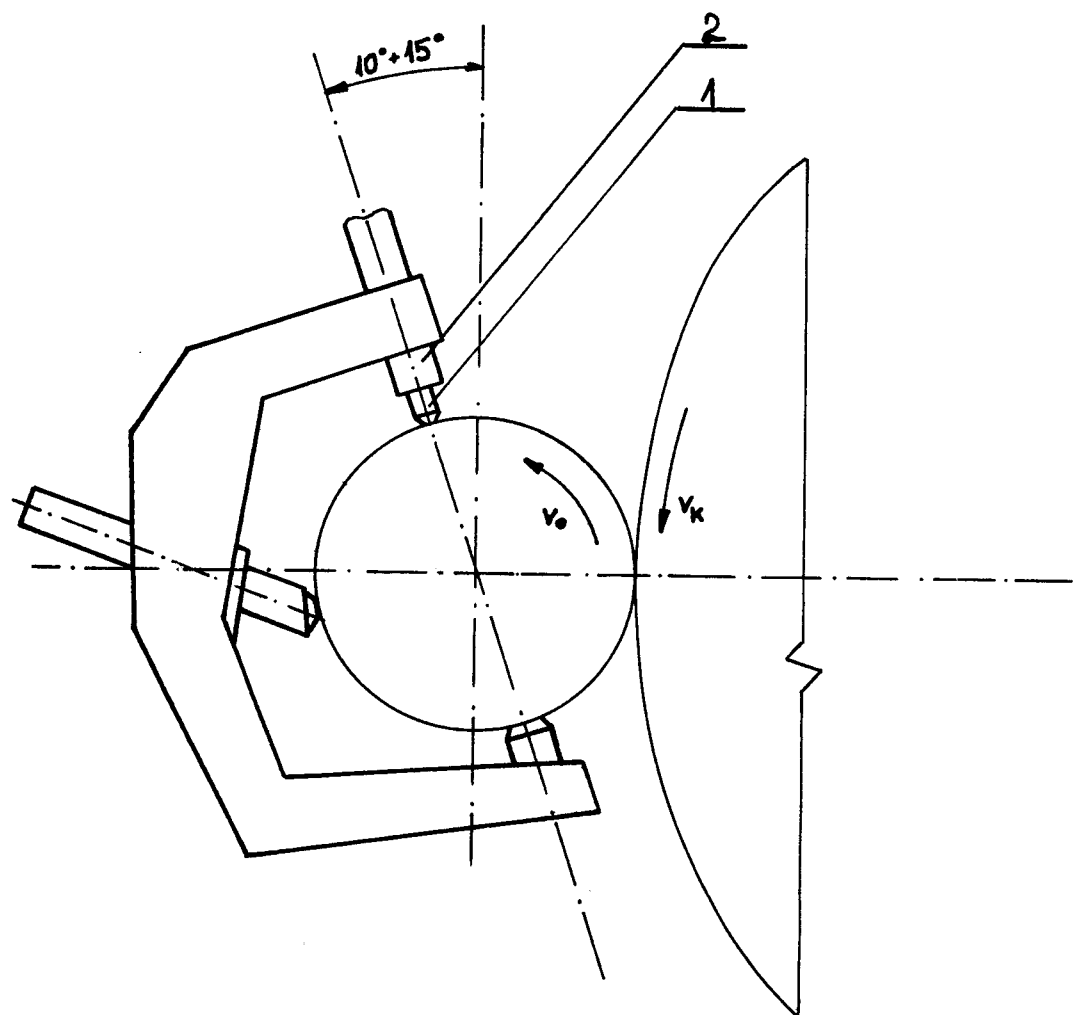
F ... filtr VŠST DP $f_1 = 200$ Hz

P ... předzesilovač HONEYWELL GMBH

O ... smyčkový osciloskop ULTRA - VIOLET RECORDER 205

M ... MARPOSS FENAR

přídavku. Pro potřebu záznamu změny úbytku materiálu na fotografický papír registračního zařízení ULTRA - VIOLET RECORDER 205 byl z 12. a 13. kanálu ukazatele Marposs vyveden signál od pohyblivého dotyku 1 /obr. 15/.



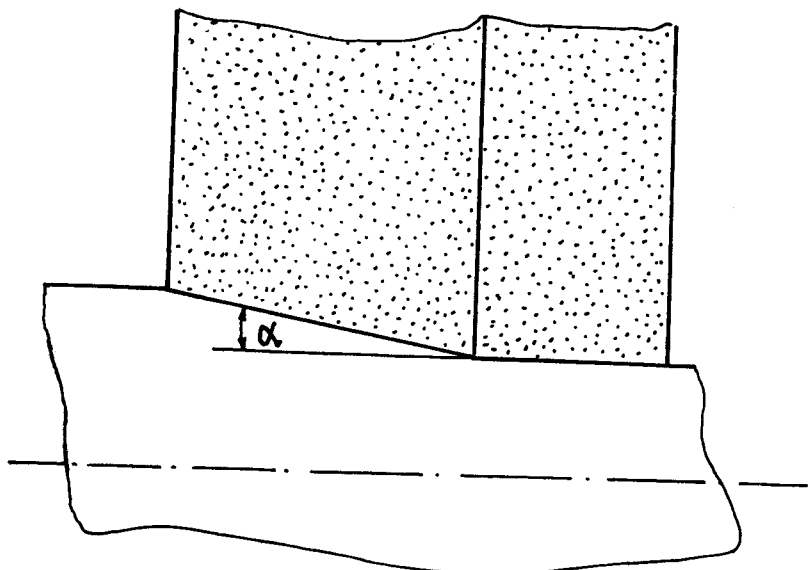
Obr. 15 : Schématické znázornění dotykového snímače Marposs

6. BRUSNÉ KOTOUČE

Na kvalitu funkčních ploch součástí z těžkoobrobitelých materiálů jsou kladený vysoké požadavky, a to nejenom z hlediska geometrické přesnosti, ale i z hlediska jakosti povrchu. Tyto parametry významnou měrou ovlivňuje i brusný kotouč /jeho volba/.

Vysoké teploty při broušení a velké řezné odpory způsobují intenzivní otupování brousícího kotouče, což vyžaduje časté orovnávání. U houževnatých materiálů se brousící kotouč navíc "zanáší" a ztrácí řezné vlastnosti.

Nejhodnějším způsobem je broušení obvodem kotouče zapichováním a podélným posuvem obrobku nebo kombinací podélného a příčného pohybu, vždy s malým přísuvením do řezu. Při podélném broušení se osvědčilo broušení kotoučem orovnaným do mírného kuželeta tak, aby se při malém posuvu /0,5 - 1 mm/ a malé tloušťce řezu /asi 0,05 mm/ mohly větší přídavky odebírat najednou. Příznivého styku brousícího kotouče s broušenou plochou dosáhneme orovnáním kotouče dle obr. 16.



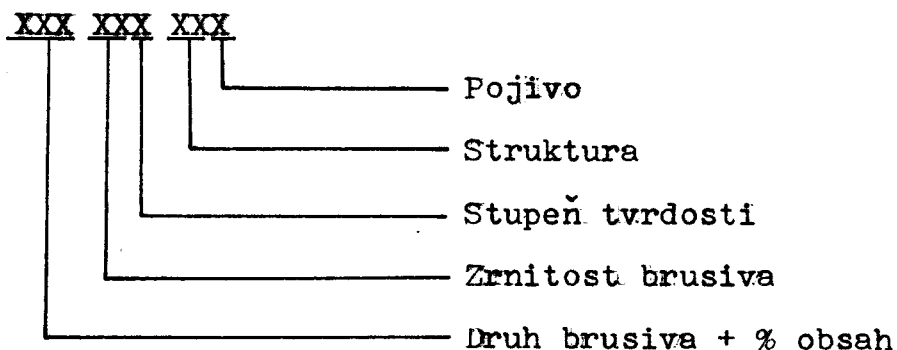
Obr. 16

Pro konkrétní materiál je třeba optimální řezné podmínky stanovit technologickými zkouškami se zřetelem na požadovanou jakost obrobku, minimální výrobní náklady a řezné vlastnosti brusného kotouče. Dále je nutné přihlédnout i k typu brousícího stroje a jeho technickému stavu. V literatuře /4/ je uvedena tabulka doporučených brusných kotoučů k broušení slitin s vysokým obsahem niklu /tab. 3/.

Tabulka 3

Materiál	Slitinu Ni, Ni - Cr
Vnější broušení v hrotech	A99/C49 A97 MK 32K9V A99/A97MK 25 až 32 J až K 12 V C49 25M 12V
Vnitřní broušení	A99/C49 25 až 32 K9V
Bezhroté broušení	A99/A97MK C4925 K - L 9V
Rovinné broušení - se svislou osou - s vodorovnou osou	A9950K12V A9950J9V

Kotouče československé výroby mají označení dle ČSN následovné:



6.1. Použité kotouče při experimentálním měření

Výběr kotoučů byl proveden:

- na základě zkušeností v n. p. Motorlet Jinonice
- na základě kotoučů doporučených v odborné literatuře
- kotouče nově vyrobené /ještě neodzkoušené na těchto materiálech/ v n. p. Carborundum Benátky nad Jizerou

Na základě tohoto výběru bylo stanoveno 5 druhů zkušebních brusných kotoučů

A98S 25H 10V

A97 25H 10V

A98 25H 10V

A99 25K 9V

TYROLIT 89A 60K 8A V 217

V tabulce 4 jsou základní charakteristické vlastnosti kotoučů zaslaných z n. p. Motorlet Jinonice /výsledky zkoušek/.

S kotouči C 48 bylo provedeno pouze jedno měření a pro jeho příliš velké opotřebení a minimální úběr bylo od dalších zkoušek s ním upuštěno. Z dalších byly vybrány pouze

Tabulka 4

Č.	Druh	D /mm/	S /mm/	d /mm/	m_g /g/	Q /g/cm ³ /	Strukt.	E_z /kN/mm ² /	Tvr.
1	A97	248,3	20,7	76,2	1721	1,896	44	30,0	H
2	A97	249,0	20,5	76,1	1736	1,918	44	32,7	H
3	A97	249,0	20,6	76,6	1738	1,914	44	31,4	H
4	A97	249,0	20,6	76,5	1722	1,896	44	30,5	H
5	A97	249,0	20,7	76,3	1729	1,893	44	30,9	H
6	A98	250,1	20,6	76,3	1712	1,865	43	28,9	H
7	A98	250,0	20,5	76,5	1703	1,867	43	28,0	H
8	A98	248,4	20,6	76,4	1692	1,872	43	28,7	H
9	A98	250,0	20,6	76,6	1692	1,847	42	26,3	H
10	A98	250,1	20,6	76,5	1705	1,859	43	28,1	H
11	A98S	249,0	18,8	76,3	1494	1,801	41	25,6	H
12	A98S	249,1	20,8	76,3	1700	1,851	43	27,8	H
13	A98S	249,0	20,9	76,3	1703	1,847	42	29,0	H
14	A98S	249,1	20,0	76,6	1622	1,838	42	29,4	H
15	A98S	249,0	20,0	76,3	1654	1,874	43	30,6	H
16	C48	248,3	20,9	76,3	1245	1,358	28	17,6	G
17	C48	249,0	20,6	76,2	1242	1,366	28	17,2	G
18	C48	248,5	20,9	76,6	1246	1,358	28	19,4	G
19	C48	248,8	20,8	76,4	1250	1,365	28	19,8	G
20	C48	249,0	20,6	76,3	1240	1,364	28	17,7	G

některé z celé řady /č. 2, 3, 9, 11/.

Pro srovnání byl použit kotouč rakouské výroby TYROLIT 89A 60K 8AV 217. Je to bíly umělý korund. Obsahuje 99,9 % kysličníku hlinatého Al_2O_3 . Zrno je střední velikosti /60/,

stupeň tvrdosti kotouče "K" /měkký/, struktura /8A/ otevřená. Kotouč má keramickou vazbu /V/. Charakteristickým číslem kotouče je 217. Potřebné hodnoty byly zaznamenány do tabulky 5.

7. TĚŽKOOBROBITELNÉ MATERIÁLY

Těžkoobrobiteľné materiály jsou materiály s větší pevností než uhlíkové oceli. V současné době dochází stále častěji k používání těchto materiálů. Současně s tím vystává problém s jejich obráběním. Jejich použití si vyžadují požadavky na nová zařízení, která pracují za extrémních podmínek. Běžně používané materiály by byly za těchto podmínek prakticky nepoužitelné. Charakteristickou vlastností těchto materiálů je zvýšená pevnost, což vede k růstu řezných sil a současně dochází k vyššímu stupni pěchování. Ve velice významná vlastnost je nízká tepelná vodivost./5/

Těžkoobrobiteľné materiály můžeme rozdělit na :

- vysocepevnostní oceli
- nerez oceli
- žárupevné oceli a žáruvzdorné oceli

Vysocepevnostní oceli, jak už z názvu vyplývá, jsou charakteristické vysokou pevností. Jejich použití je však limitováno jejich nízkým plastickými vlastnostmi. Jako kritérium pro posuzování se používá mez kluzu /Re/ nebo mez pevnosti /Rm/, případně chemické složení nebo způsob tepelného zpracování. Jako dělící měřítko se uvažuje

$$Re \geq 1250 \text{ MPa}$$

$$Rm \geq 1500 \text{ MPa}$$

Představují dnes špičkové materiály, které lze uplatnit při konstrukci vybraných součástek /jsou to např. oceli TRIP nebo Maraging/.

Nerez oceli, oproti uhlíkovým ocelím mají vyšší pevnost

a větší množství volných karbidů, což má za následek zhoršení obrobitevnosti. Problémy vznikající v souvislosti s nízkou tepelnou vodivostí materiálu se snažíme odstranit kvalitním chlazením.

Žáruvzdorné a žárupevné oceli jsou většinou oceli na bázi Ni, Co. Jsou charakterizovány vysokými hodnotami pevnosti při tečení za teplot 650 - 1000 °C a současně nízkými hodnotami tažnosti /A/ při tečení.

7.1. Slitiny s vysokým obsahem niklu

Jsou vyráběny vzhledem k nárokům, které nemohou splnit austenitické oceli se zvýšeným obsahem niklu a chrómu. Nesnadná obrobitevnost je zaviněna především typem jejich krystalické mřížky /krychlová plošně středěná mřížka, pro kterou je příznačná velká houževnatost a tvárnost, což ztěžuje obrobitevnost/. Pro praktické zkoušky byly n. p. Motorlet Jinonice zaslány následující materiály:

EI - 437 BUVD

ŽS 6K

LVN 110

Chemické složení těchto materiálů ukazuje tabulka 6. K důležitým vlastnostem z hlediska obrobitevnosti patří i mechanické vlastnosti materiálu /tab. 7/. Vzhledem k rozsáhlosti zkoušek potřebných k hodnocení obrobitevnosti a jejich časové náročnosti byl z uvedených materiálů vybrán pouze jeden. Jedná se o slitinu LVN 10. Další pokusy plánované v oboru obrábění těžkoobrobitelných materiálů budou mít za úkol posoudit další z řady zaslanych vzorků.

Tabulka 6

Prvek	EI-437 BUVD	ŽS 6K	LUV 10
Ni	cca 73,00	67,3000	74,4000
Mn	0,400	0,0100	0,0100
Si	0,600	0,1420	0,0670
Cr	19 - 22	9,1810	11,5000
Mo	-	4,1580	4,6060
Ti	2,5 - 2,9	2,8220	0,8300
Al	0,6 - 1,0	5,2920	6,0380
Co	-	4,4430	0,1000
Nb	-	-	2,0000
Nb+Ta	-	-	2,0100
Fe	1,000	0,6250	0,1950
Zr	-	0,0050	0,1200
Cu	0,070	0,0090	0,0090
B	0,010	0,0160	0,0080
C	0,070	0,1500	0,0440
S	0,070	0,0013	0,0020
W	-	5,1000	-
P	0,015	-	-

Tabulka 7

	EI-437BUVD	ŽS	LVN
Mez pevnosti /Rm/	980	981-11050	911
Mez kluzu /Re _{0,2} /	590	863-922	792
Tažnost /A ₅ /	13	1,5-7,0	11,2
Kontrakce /Z/	16	8-16	-
Vrub. houž. /KCU2/	30	-	-
Tvrďost /HB/	269-341	322-350	285-435

8. STÁVAJÍcí STAV V N. P. MOTORLET JINONICE

Broušení miklových slitin v n. p. Motorlet můžeme rozdělit do čtyř základních skupin :

1. Broušení na plocho. Opracování rovinných ploch se provádí nejčastěji kotoučem A99 16K 9V při použití řezné kapaliny EMULSIN H.
2. Tvarové broušení na plocho. Tímto způsobem se provádí např. broušení závěsů lopatek do turbín. Při této operaci se nejčastěji používají brusné kotouče firmy ELBE 81A 120 - 1G15 - V18 nebo kotouče od stejné firmy 81A 120 - 3H11 - V18 /400 x 17 x 127/. V samotném podniku dochází k pokusům o nahradu těchto kotoučů kotouči československé výroby. Pro hrubování s tvrdostí G a při broušení na čisto H.
3. Tvarové broušení na kulato /rotační součásti/. Takto se například brousí bandáže lopatek. Lopatky jsou sestavené do kruhu a zality voskem nebo woodovým kovem pro zajištění proti pohybu. Po dokončení je působením tepla zpevňující hmota odstraněna. Na obr. 17a je znázorněn profil výrobku zhotoveného z materiálu LVN 10. K používání dvou různých kotoučů dochází z důvodů, že kotouče naší výroby špatně "drží" předepsaný tvar, rychle se vydrolují a proto se musí často orovnávat. Používaná chladící kapalina je výrobkem italské firmy Bellucco chimica TORINO s obchodním označením Sinbolin R 30. Používá se v koncentraci s vodou v poměru 1 : 50. Účinně odstraňuje vzniklé nečistoty z kotouče, čímž zabraňuje jeho zanášení. Požadovaná drsnost povrchu je 1,6 µm.

Orovnávací rolny jsou zhotoveny z materiálu 19436 /Poldi 2002/.

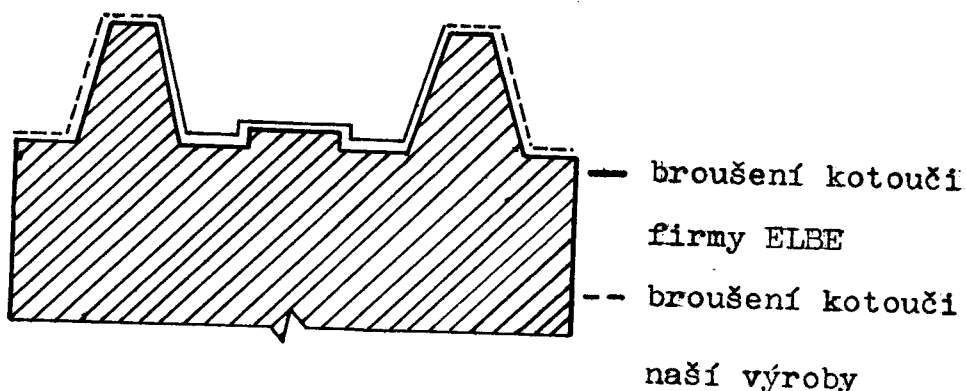
V tomto i v předešlém případě se obrábí s velice malými posuvy / $22 \text{ mm} \cdot \text{min}^{-1}$ / . K orovnání kotouče dochází vždy po projetí 3 lopatek. Vyvinutý tlak kapaliny na rolnu při orovnávání je 0,5 MPa. Z dosavadní praxe se doporučuje pracovní tlak co největší.

4. Přesné broušení. Používá se pro /5-6/° lícování na materiálu EI437 BUV. Jako nástroje se užívá brousící kotouč švýcarské výroby VITOUBIN WINTERTHUR o tvrdosti 80J a 80H. Řezná kapalina je dovážena z Velké Británie s označením BLASER, BLASOCUT, Grindex 883, v koncentraci s vodou 1:50. Dosahovaná drsnost je 0,4 μm i méně.

Z práce vývojového a technologického oddělení vyplynuly tyto závěry:

- proces broušení je maximální měrou ovlivněn kvalitou a vlastnostmi brousícího kotouče
- vliv řezných kapalin je zanedbatelný.

Z těchto závěrů bylo vycházeno i při počátcích této diplomové práce.



Obr. 17a

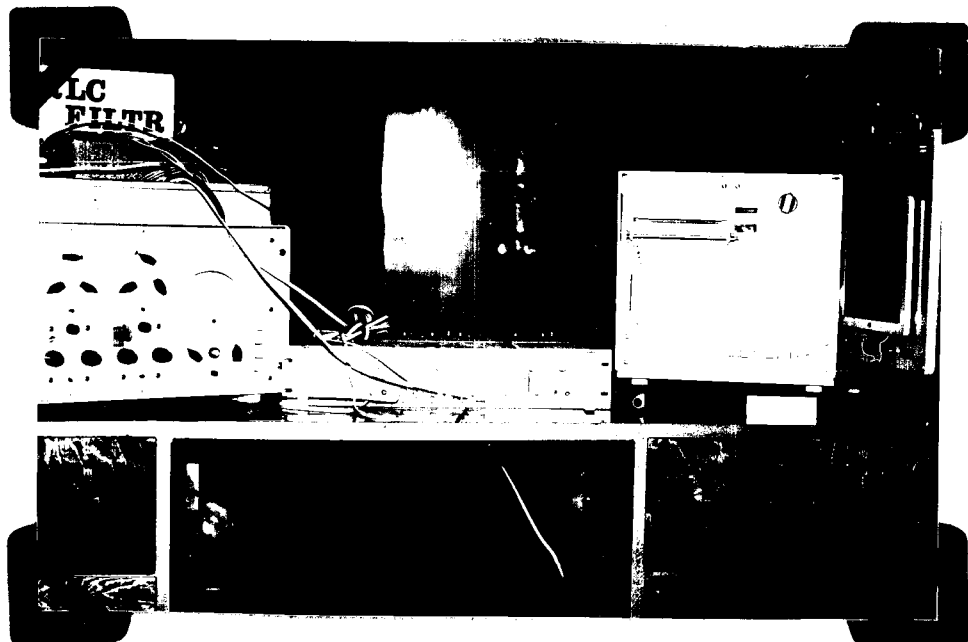
9. POSTUP MĚŘENÍ

- 1/ Volba brousícího kotouče
- 2/ Zvuková zkouška kotouče /poklepem dřevěného kladívka do volně zavěšeného kotouče - je-li kotouč bez vady, vydává zvonivý zvuk/
- 3/ Vyvážení brousícího kotouče - statické
- 4/ Vyvážení brousícího kotouče - dynamické
- 5/ Ustavení brousícího kotouče na vreteno stroje a zajištění
- 6/ Bod 1 až 4 se opakuje při výměně kotouče
- 7/ Orování pracovní plochy brousícího kotouče /k orování bylo použito jednokamenného diamantu; celková hloubka orování činila 0,35 mm; hrubovací přídavky jsou o tloušťce 0,04 mm; při orovnávání jemném jsme odebrali 2x vrstvu po 0,02 mm s jedním vyjiskřením/
- 8/ Správné usazení dynamometru /kontrola souososti hrotů dynamometru - případné přebroušení, kontrola polohy tenzometrů/
- 9/ Cejchování dynamometru /závislost síla - průhyb/
- 10/ Ustavení obrobku mezi hroty /nutno mazat středící délky - sníží se tření a nedochází k výraznému opotřebení hrotů/
- 11/ Volba řezných podmínek / $n_k = \text{konst.}$, $n_o = \text{konst.}$, nastavení příslušu, doba vyjiskření, velikost zpomalení, nastavení přídavku na broušení/
- 12/ Volba řezné kapaliny
- 13/ Nasadit snímač měřidla Marposs na obrobek
- 14/ Vyvážit tenzometrický můstek

- 15/ Uvedení do chodu registračního zařízení /obr. 17/
- 16/ Zapnutí automatického přísluva brousícího vřeteníku /Rychlosť přísluva v_f byla měřena indukčním snímačem IWT 302 RFT DDR. Z grafického záznamu na výstupu registračního zařízení bylo zjištěno, že daný hydraulický systém neumožňuje zachovávat konstantní rychlosť přísluva pro všechny obrobky. Proto pro výsledné hodnocení byly brány hodnoty odečtěné ze záznamu/. Pro konstantní rychlosť přísluva v_f bylo výhodné použít NC systém.
- 17/ provedení operace broušení s vyjiskřením /doba vyjiskření nastavena automaticky/
- 18/ Vypnout registrační zařízení /obr. 17/
- 19/ Zaznamenání naměřených hodnot do tabulky č. 5
- 20/ Měření drsnosti povrchu /měření bylo prováděno na drsnoměru HOMMEL TESTER T3 snímačem TFE 100, délka dráhy 2 mm, cut off 0,75 mm/
- 21/ provedení operace broušení bez vyjiskření
- 22/ Měření drsnosti povrchu
- 23/ Opakování operace 21 dvakrát do stejného místa kotouče /operace 21 provedena 3x za sebou / $2 \times 23 + 21$ / sloužila k získání hodnot pro poměrný obrus/
- 24/ Měření úbytku kotouče planžetovou metodou /planžeta tl = 1,1 mm/. Otištění profilu kotouče do planžety.
- 25/ Vyhodnocování záznamu z ULTRA - VIOLET RECORDER 205. Převedení naměřených hodnot pomocí cejchovací křivky jna jednotky SI.
- 26/ Orování brousícího kotouče /viz bod 6/
- 27/ Opakování měření /změna některého z parametrů bodů 11,12/

- 28/ Vyhodnocení kriteria OB /viz kap. 10.2./
- 29/ Vyhodnocení kriteria h_{eq} /viz kap. 10.1./
- 30/ Provedení výběru optimálních hodnot /řezná rychlosť brousícího kotouče, řezné kapaliny/

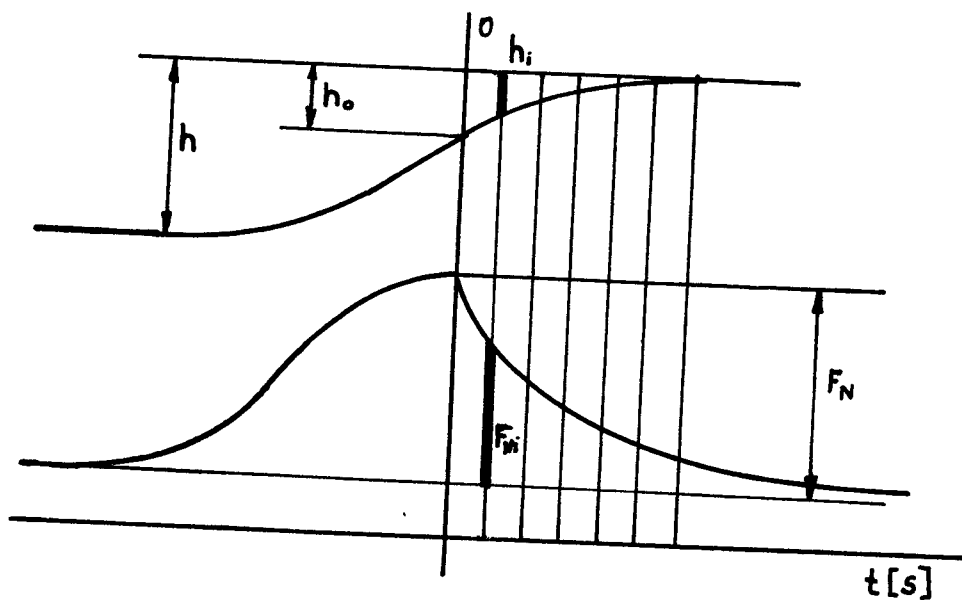
obr. 17 Registrační zařízení



10. VÝHODNOCOVÁNÍ MĚŘENÍ

10.11. Vyhodnocení kritéria h_{eq}

Vyhodnocování kritéria h_{eq} se provádělo ze záznamu pořízeného na registračním zařízení ULTRA - VIOLET RECORDER 205 /viz obr. 13/. K hodnocení bylo použito hodnot h_0 , h , F_N , l_o , l_c , α , β ; Pro zaznamenání naměřených hodnot sloužila předtiskná tabulka č. 5. Některé z důležitých hodnot, které v tabulce chybely, byly později během měření doplněny. Na časovou osu se nanášela hodnota t_i , zvolená 5,5126 mm a odměřila odpovídající hodnota h_i a F_{Ni} souřadnic vyjiskřovací křivky, kdy $i = 0, 1, \dots, 9$ /obr. 18/.



Obr. 18 : Odečet h_i a F_{Ni} souřadnic vyjiskřovací křivky

Násobením F_{Ni} souřadnice cejchovacím měřítkem síly získáme hodnoty v jednotkách síly /cejchovací měřítko síly = = 0,8143 N/. Tím získáme hodnoty radiální složky síly.

Tangenciální složka řezné síly nebyla vyhodnocována ze záznamu, ale výpočtem z užitečného výkonu (18). Získané hodnoty h_o , F_{No} a naměřené hodnoty během broušení R_a , R_{av} , G , se занášely do diagramu broušení. Jelikož závislost těchto funkcí je exponenciální, výsledné hodnoty v logaritmických souřadnicích jsou přímky. Při opakovém měření se v některých případech vyskytly odchylky od přímek /viz diagramy broušení/. Součástí každého diagramu broušení je doplňková tabulka, udávající hodnoty, které se vztahují k danému diagramu /tab. č. 8/. Hodnota h_{eq} se spočítala z hodnot v tabulce 5 následovně

$$l_o/5,5126 = l_s \quad /mm/ \quad (29)$$

$$\text{zpomalení}/2l_s = v_p \quad /\mu\text{m.s}^{-1}/ \quad (30)$$

$$v_p/4,878 = v_{Po} \quad /\mu\text{m.ot}^{-1}/ \quad (31)$$

$$v_{Po}/q = h_{eq} \quad (32)$$

kde q spočteme ze vztahu /vpředu/ a velikost zpomalení byla volena /zpravidla 0,2/. Pro přepočet hodnoty h_i z grafu bylo potřebné nejprve zjistit h_p /přepočtová hodnota - pro každý graf jiná/

$$\frac{d_{01} - d_{02}}{2} \cdot \frac{1}{h} = h_p \quad (33)$$

kde : d_{01} ... průměr obrobku před broušením /mm/
 d_{02} ... průměr obrobku po broušení /mm/

Potom skutečná hodnota $h_{is} = h_i \cdot h_p$. Hodnotu poměrného obrusu G spočteme ze vztahu:

$$G = \frac{d_{01}^2 - d_{02}^2}{d_{k1}^2 - d_{k2}^2} \quad (34)$$

Výsledné hodnoty byly zaznamenány do tabulky 5. Ta později sloužila k výhodnocení a porovnání jednotlivých variant /kotouč - řezná kapalina - řezné podmínky/. Z uvedeného vyplývá, že výpočet je dosti zdlouhavý. Proto by bylo výhodné zpracování postupu výpočtu charakteristických veličin pro h_{eq} na počítač. Při samotném výhodnocování grafického záznamu dochází ke zkreslení výsledků /nepřesnost měřicích pomůcek, omezené možnosti lidských vjemů, .../. Bylo by velice výhodné napojení registračního zařízení na počítač /značně by zkrátilo čas výpočtu a zlepšila přesnost měření/.

10.2. Výhodnocení kritéria O_B

Kritérium obrobitevnosti O_B bylo zvoleno jako jedno z možných pro porovnání hodnot s hodnotami h_{eq} . Pro výpočet kritéria byly použity veličiny z grafického výstupu /obr. 13 a z tabulky 5. Pro optimalizaci hodnot naměřených u jednotlivých měření /pro jeden kotouč, jeden druh kapaliny, ale různé řezné podmínky/ bylo použito vývojového systému JVS - 80. Výstupními hodnotami jsou U při kroku 5 a U' při kroku 10. Obdobně platí i pro hodnoty L a L'. Výsledná hodnota O_B byla zanesena do logaritmické stupnice diagramu broušení /pro srovnání s h_{eq} /.

Tabulka 8 : Materiál IVN 10

č.	Kotouč	Ra	Ra _w	α	α _v	f	f _v
1	B6A 60K 8A V 217	4,1	2,5	24	25	0,45	0,47
2	A99 25K 9V	2,4	1,5	17	18	0,30	0,47
3	A98 25H 10V	3,9	2,3	30	21	0,26	0,32
4	B6A 60K 8A V 217	2,9	0,85	20	12	0,36	0,44
5	A67 25H 10V	3,1	1,0	18	8	0,32	0,12
6	A99 25K 9V	1,2	-	11	-4	0,16	-0,05
č.	G _{0,1}	δ	e _{0,1}	F ₁	μ	γ _N	γ _T
1	1,05	-1,5	25	10,5	0,360	26	26
2	1,05	-10	40	8,5	0,400	14	14
3	0,31	-51	23,5	6,0	0,340	23	23
4	1,05	-3	29	10,5	0,360	29,5	29,5
5	0,9	-46	30	9,5	0,400	26	26
6	2,4	-3	36	11	0,400	21,3	21,3
č.	f _T	f _N	Kapalina				
1	0,480	0,480	EMULSIN H 5 %				
2	0,320	0,320	EMULSIN H 5 %				
3	0,420	0,420	EMULSIN H 5 %				
4	0,560	0,560	ROBOL				
5	0,487	0,487	EMULSIN H 5 %				
6	0,320	0,320	ROBOL				

11. ZHODNOCENÍ NAMĚŘENÝCH VÝSLEDKŮ

Naměřené hodnoty zanesené v brusných diagramech porovnáme v tabulce 9. K hodnocení jednotlivých kombinací broušící kotouč - chladící kapalina použijeme kritéria uvedená na str. 24. Pořadí podle těchto kritérií porovnáme s pořadím pro kriterium σ_B ,

Tabulka č. 9

Kotouč	Řezná kapalina	F_1 /N/	γ_T /°/	$e_{0,1}$ /J.m ⁻³ /	h_{eq}	σ_B
TYROLIT						
89A 60K 8A V 217	Emulsin H 5 %	10,5	26,0	35,0	4	3
A98 25H 10V	Emulsin H 5 %	6,0	23,0	23,5	2	2
A97 25H 10V	Emulsin H 5 %	9,5	26,0	30,0	3	4
TYROLIT						
89A 60K 8A V 217	Robol	10,5	29,5	29,0	1	1
A99 25K 9V	Emulsin H 5 %	8,5	18,0	42,0	6	6
A99 25K 9V	Robol	11,0	26,0	36,0	5	5

Obě kritéria se v tomto závěru shodují až na malé niance, které mohou být zaviněny nepřesnosti měřených veličin nebo zakrouhllováním hodnot. Kritérium h_{eq} oproti kritériu σ_B zahrnuje více hodnot charakterizujících výrobek. Bude záležet na výrobci, na který z parametrů / F_1 , γ_T , $e_{0,1}$, popřípadě Ra/ bude klást větší důraz. V závislosti na těchto parametrech /důrazu/ se bude měnit i pořadí v hodnosti v tab. 9.

12. ZÁVĚR

Uvedené výsledky zkoušek dávají představu pouze o obrobitevnosti materiálu /řezivosti kotouče/. Nedávají nám však informace o stavu materiálu po procesu obrábění /broušení/. Jak vyplývá z kapitoly 4, je nutné pro závěrečnou volbu kombinace brusný kotouč - řezná kapalina - - řezné podmínky uvažovat také změnu povrchové vrstvy. Ta může významnou měrou ovlivnit mechanické vlastnosti výroby, a tím i jeho použitelnost. Z hlediska obrobitevnosti, která byla klavním ukazatelem při experimentech obrábění slitiny LVN 10, se nejlépe osvědčil kotouč TYROLIT 89A 60K 8A V 217 v kombinaci s kapalinou ROBUL.

Tato diplomová práce je součástí výzkumů prováděných v této oblasti na katedře KOM VŠST v Liberci. Vzhledem k časové náročnosti měření byla řešena tato diplomová práce jako týmová se s. Davídkovou.

Závěrem bych chtěl poděkovat zaměstnancům laboratoře: s. Čihulovi, s. Burianovi a s. Bělohoubkovi za pomoc při praktických zkouškách. Zvláště bych pak chtěl poděkovat s. Ing. Jaroslavu Janouškovi za pomoc při vedení práce a experimentálním měření obrobitevnosti. Také děkuji pracovníkům VUOSO za pomoc při úvodním seznamování s problematikou obrábění těžkoobrobitelných materiálů.

SEZNAM PŘÍLOH

č. přílohy

- 1 Diagram broušení /TYROLIT 89A 60K 8A V 217 -
 - Emulsin H 5 %/
- 2 Diagram broušení /A98 25H 10V - Emulsin H 5 %/
- 3 Diagram broušení /A97 25H 10V - Emulsin H 5 %/
- 4 Diagram broušení /TYROLIT 89A 60K 8A V 217 -
 - Robol/
- 5 Diagram broušení /A99 25K 9V - Emulsin H 5 %/
- 6 Diagram broušení /A99 25K 9V - Robol/

SEZNAM POUŽITÉ LITERATURY

- /1/ GAZDA, J. : Mechanismus vytváření povrchu a třísky a obrobitevnost při vysokých rychlostech deformace a gradientech teploty.
/Výzkumná zpráva/. Liberec, Vysoká škola strojní a textilní 1982.
- /2/ GAZDA, J. : Řezivost brusných kotoučů.
/Habilitační práce/. Liberec 1979. - Vysoká škola strojní a textilní. Fakulta strojní
- /3/ MASLOV, J. N. : Teorie broušení kovů.
Praha, SNTL 1979
- /4/ MIKOVEC, M. : Obrábění materiálů s velkou pevností a tvrdostí.
Praha, SNTL 1982.
- /5/ MIKOVEC, M. : Obrábění těžkoobrobitelných materiálů.
Praha, SNTL 1963
- /6/ NIKL, J. : Měření zbytkových pnutí u kroužků ložisek.
/Diplomová práce/. Liberec 1983. - Vysoká škola strojní a textilní. Fakulta strojní
- /7/ RULCOVÁ, E. : Návrh metodiky určování obrobitelnosti broušením.

/Diplomová práce/. Liberec 1983. - Vy-
soká škola strojní a textilní. Fakulta
strojní

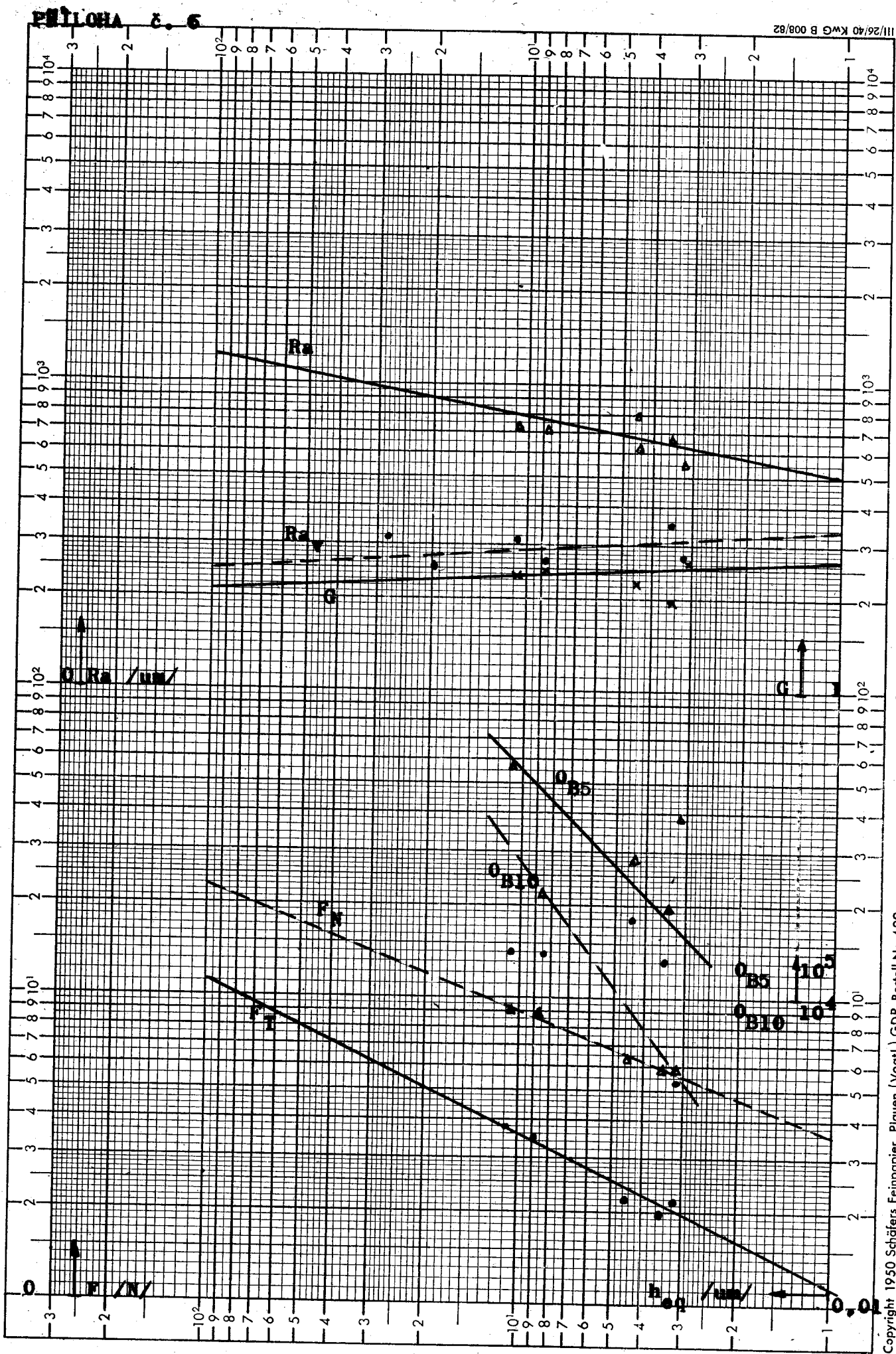
BROUŠÍCÍ KOTOUČ	TYP CARBORUNDUM	A97 25H10V	STROJ	BUVD 16
	nk OTÁČKY [1/s]	2780	DATUM MĚŘENÍ	24.4 1985
	PRŮMĚR [mm]	246,71	POŘADOVÉ ČÍSLO	019
	HLOUBKA OROVNÁNÍ [mm]	0,75		
	ÚBYTEK KOTOUČE [mm]	0,012/0,025		
	POMOCNÉ ZNAČENÍ	"2"		
MATERIAL	v _k /m.s ⁻¹ /	35,91	F _n = 21,99	
	DRUH MATERIÁLU	LVN 10	f _{FK} =	
	ČÍSLO VZORKU	"4"	f _{sk} = 68	$\alpha_0 = 62$
	PRŮMĚR PŘED BROUŠ. [mm]	63,48	F _t = 9,468	
	PRŮMĚR PO BROUŠENÍ [mm]	63,34	$\mu = 0,430$	
	ŠÍŘKA [mm]	5,10	$U = 10^5 \cdot \frac{t g \alpha}{s}$	
	R _a BEZ VYJISKŘENÍ	1,05	$U = 688,709$	$\alpha_p = 57$
	R _a PO VYJISKŘENÍ	0,62	$U =$	$\alpha'_p =$
	DOBA VYJISKŘOVÁNÍ [s]	15		
	h ZBYTKOVÉ [mm]			
CHARAKTERISTIKA PROCESU	3*0,16 BEZ VYJISKŘ.	63,06		
	OTÁČKY [1/min]	292,68	h ₀ = 17,04	
	NASTAVENÝ PŘÍDAVEK φ	0,16	f _{BK} =	
	VELIKOST ZPOMALENÍ φ	0,20	$\beta_{BK} = 23$	$\beta_0 = 20$
	NAPRUŽ. SYSTÉMU MARP.	0,084	h _{ZB} =	
	NAPRUŽ. ZE ZÁZNAMU		$L = 10^3 \cdot \frac{t g \beta}{s_h}$	
	PŘÍKON NAPRÁZDNO [kw]	28,5 * 40	$L = 778,65$	$\beta_p = 53$
	PŘÍKON MAXIMÁLNÍ [kw]	37,0 * 40	$\beta_p =$	
	NASTAVENÍ PŘÍSUVU [-]	"0,012"		
	VYPOČTYENÝ PŘÍSUV [mm]	1,626 mm/ot		
CHLAZENÍ	v ₀ = /m.min ⁻¹ /	58,37		
	CELKOVÁ DOBA BROUŠ.	18,40		
	DRUH	EMULSIN H.	h _{BK}	h
	KONCENTRACE	5%	17,04	0
	TLAK [MPa]	-----	10,34	1
	RYCHLOSТЬ [m/s]	0,88	6,69	2
	MNOŽSTVÍ [l]	5,34	4,26	3
			3,04	4
			1,52	5

$$\begin{aligned}
 F_n &= 21,99 \\
 f_{FK} &= \\
 f_{sk} &= 68 \\
 F_t &= 9,468 \\
 \mu &= 0,430 \\
 U &= 10^5 \cdot \frac{t g \alpha}{s} \\
 U &= 688,709 \\
 \alpha_p &= 57 \\
 \alpha'_p &= \\
 h_0 &= 17,04 \\
 f_{Bk} &= \\
 \beta_{BK} &= 23 \\
 h_{ZB} &= \\
 L &= 10^3 \cdot \frac{t g \beta}{s_h} \\
 L &= 778,65 \\
 \beta_p &= 53 \\
 \beta_p &=
 \end{aligned}$$

h _{BK}	h	T _h
17,04	0	
10,34	1	
6,69	2	
4,26	3	
3,04	4	
1,52	5	
1,21	6	
0,91	7	
0,61	8	
0,30	9	

Tabulka č. 5

Nr. 490



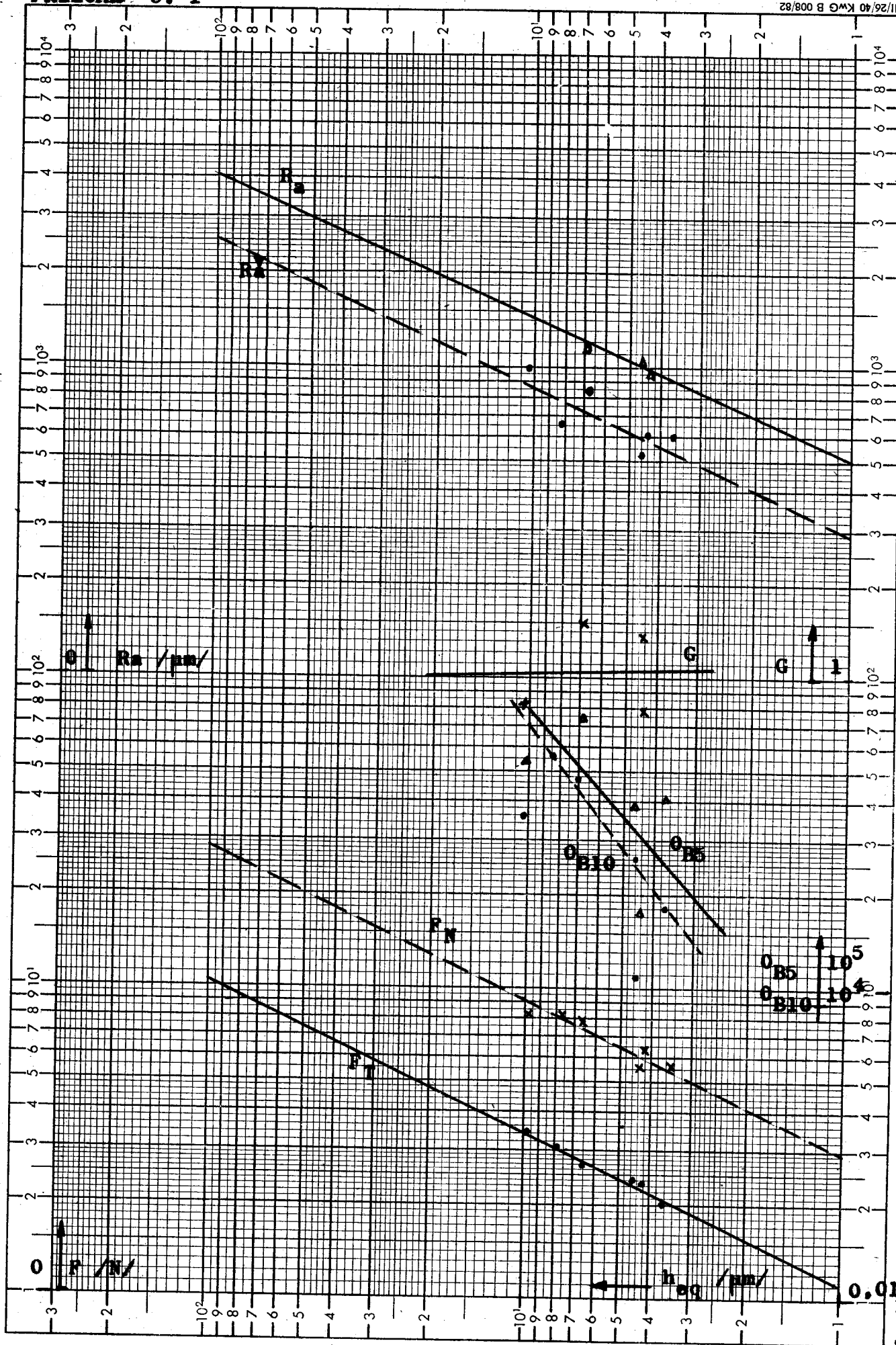
Copyright 1950 Schäfers Feinpapier, Plauen (Vogtl.) GDR Bestell-Nr. 490
(Nachdruck nur mit Genehmigung des Herausgebers)

Reg.-Nr. 600908
ges. gesch. unter

III/26/40 KWG B 008/62
Beide Achsen logar. geteilt von 1 bis 10^4 u. 1 bis $3 \cdot 10^2$ Einheit $\text{d}2,5 \text{ mm}$

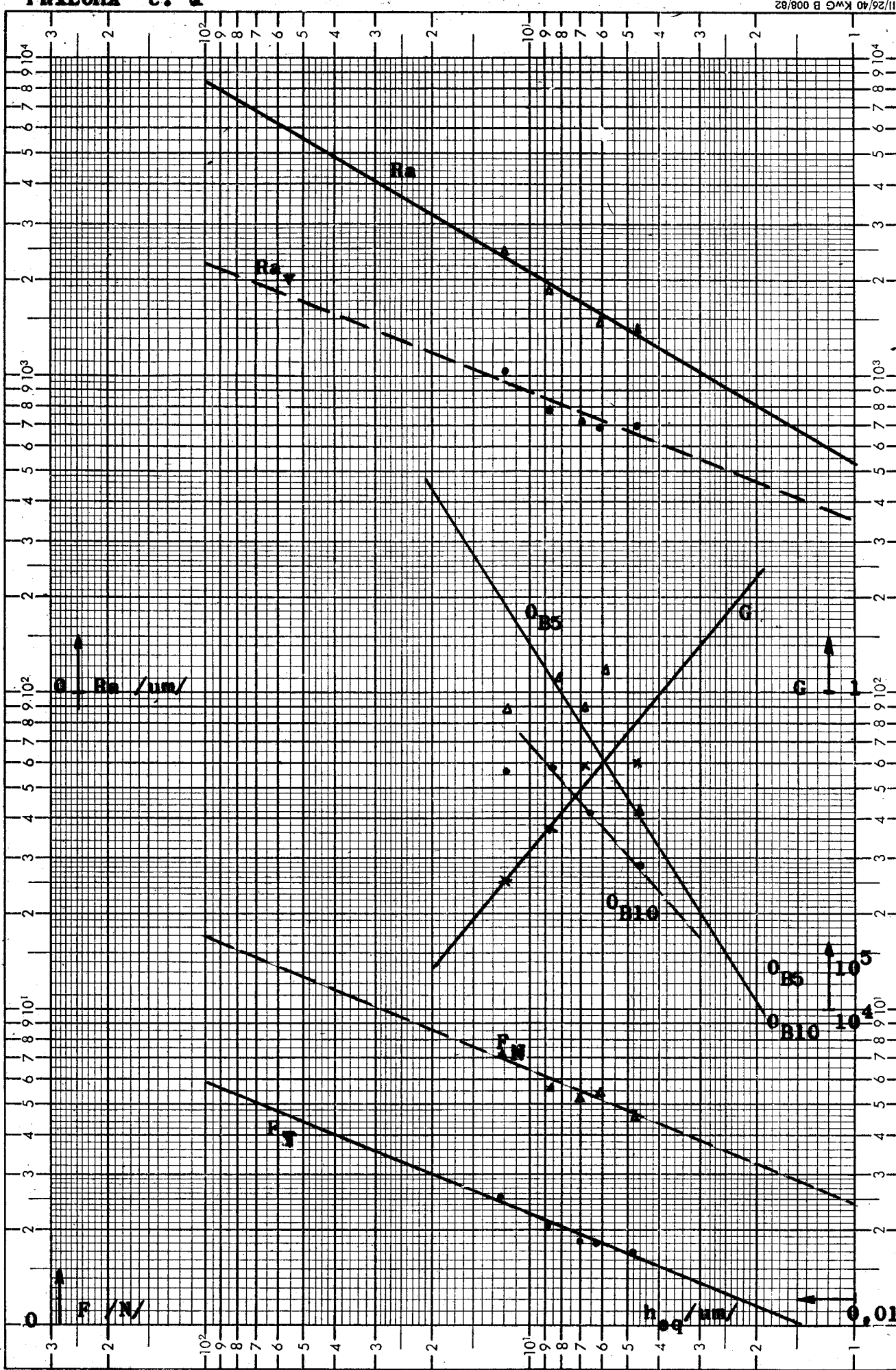
PRILOHA č. 1

III/26/40 KWG B 008/82



PŘÍLOHA č. 2

Nr. 490



Copyright 1950 Schäfers Feinpapier, Plauen (Vogt!). GDR Bestell-Nr. 490
(Nachdruck nur mit Genehmigung des Herausgebers)

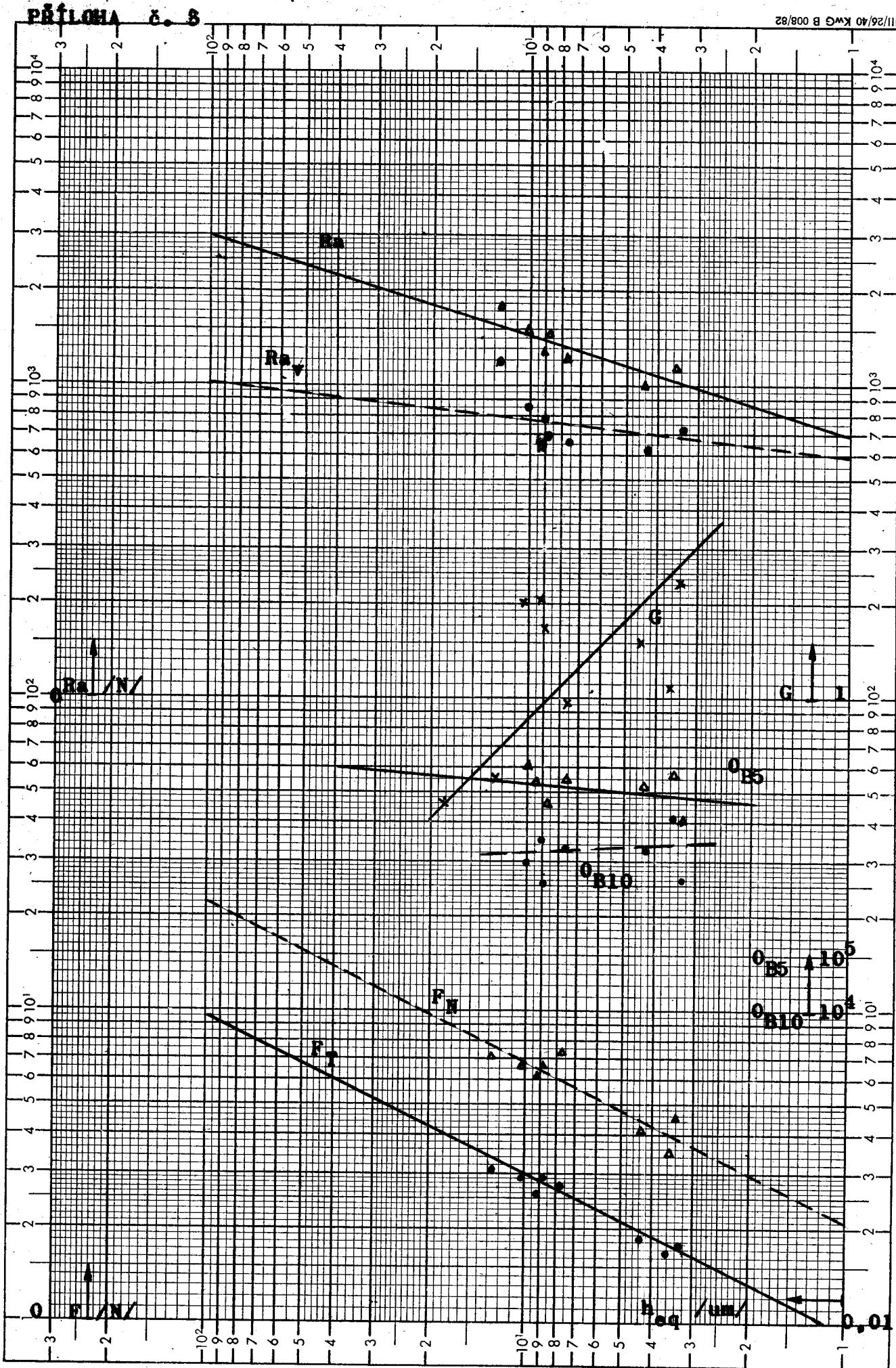


Reg.-Nr.
600298

Beide Achsen logar. geteilt von 1 bis 10^4 u. 1 bis $3 \cdot 10^2$ Einheit 62,5 mm

11/26/40 KWG B 008/82

Nº 490



Copyright 1950 Schäfers Feinpapier, Plauen (Vogtl.), GDR Bestell-Nr. 490
(Nachdruck nur mit Genehmigung des Herausgebers)

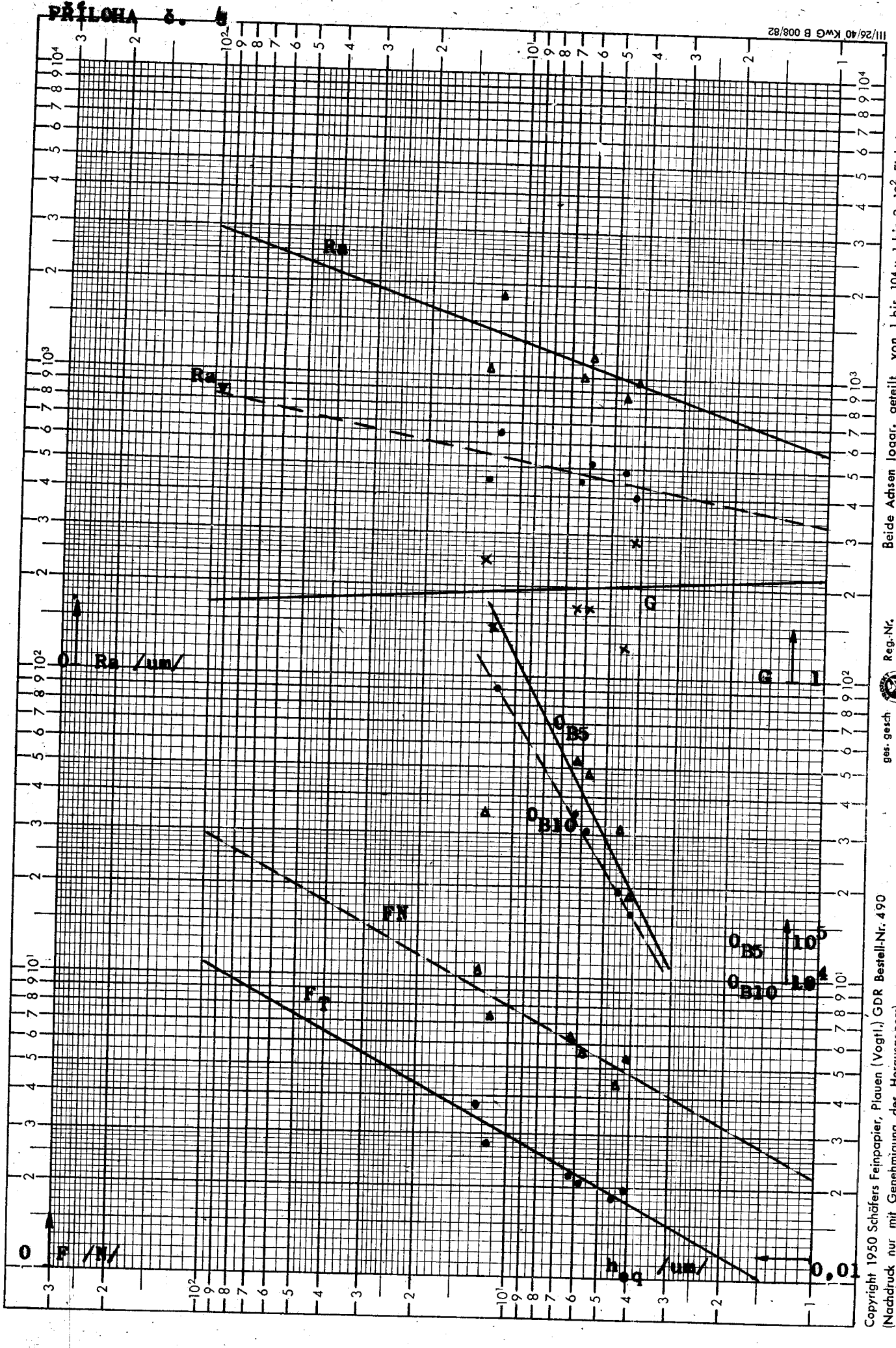


Reg.-Nr.
600908

Beide Achsen logar. geteilt von 1 bis 10^4 u. 1 bis $3 \cdot 10^2$ Einheit 62,5 mm

11/26/40 KWG B 008/82

Nr. 490



Copyright 1950 Schröfers Feinpapier, Plauen (Vogtl.) GDR Bestell-Nr. 490
(Nachdruck nur mit Genehmigung des Herausgebers)

Nr. 490

